

# INTEGRALE RICOSTRUZIONE PARCO EOLICO "Andretta- Bisaccia"

*ADEGUAMENTO TECNICO IMPIANTO EOLICO MEDIANTE INTERVENTO DI REPOWERING  
DELLE TORRI ESISTENTI E RIDUZIONE NUMERICA DEGLI AEROGENERATORI*



**Progettazione Coordinamento**

**GEKO S.p.A.**  
Via Reno, 5 - 00198 Roma (RM)  
Tel. 06.88803910 | Fax 06.45654740  
E-Mail: gekospa@pec.gekospa.it

**Studio Acustico e avifaunistico**

**Teasistemi**  
Via Ponte Piglieri, nr 8 - 56122 Pisa (PI)  
Tel. 05.06396101  
E-Mail: info@tea-group.com

**Progettista:**

Ing. Massimo Lo Russo

**Progetto Energia s.r.l.**  
Via Cardito, 202 - 83031 Ariano Irpino (AV)  
Tel. 0825.831313  
E-Mail: info@progettoenergia.biz

Rev.	Data	Descrizione revisione	Redatto	Controllato	Approvato
00	02.05.2024	EMISSIONE PER AUTORIZZAZIONE	D. BARBATI	D. LO RUSSO	M. LO RUSSO

**Progettazione, Studi Ambientali e Specialistici**

**Titolo Documento:**

**RELAZIONE SULL'ELETTROMAGNETISMO (D.P.C.M. 08-07-03 e D.M. 29-05-08)**

**Numero documento:**

Commissa			Fase	Tipo doc.	Prog. doc.	Rev.							
2	3	3	5	0	2	D	R	0	2	2	7	0	0

**Opera**

**Progetto di Integrale Ricostruzione di un impianto eolico composto da 18 aerogeneratori da 6,6 MW per una potenza complessiva di 118,8MW e relative opere di connessione nei Comuni di Andretta, Bisaccia e Vallata (AV) con smantellamento di n.35 aerogeneratori di potenza in esercizio pari a 70MW**

Approvazione documento	Rev.	Data	Oggetto della revisione	Elaborazione	Verifica	Approvazione
	00	Maggio 2024	Emissione per progetto definitivo	Progetto Energia S.r.l.	Geko S.p.A.	Edison Rinnovabili S.p.A.

**INDICE**

1.	PREMESSA .....	3
2.	INTRODUZIONE .....	4
2.1.	I CAMPI ELETTRICI E MAGNETICI .....	5
2.2.	EFFETTI BIOLOGICI E LIMITI DI ESPOSIZIONE .....	6
3.	INQUADRAMENTO NORMATIVO .....	7
4.	CAMPI ELETTROMAGNETICI GENERATI DALLE COMPONENTI DELL'IMPIANTO EOLICO .....	9
4.1.	IDENTIFICAZIONE DELLE COMPONENTI .....	9
4.1.1.	CAVIDOTTI 30kV .....	9
4.1.2.	STAZIONE ELETTRICA DI UTENZA .....	34
4.1.3.	IMPIANTO DI UTENZA PER LA CONNESSIONE .....	35
5.	CONCLUSIONI .....	39
6.	ALLEGATI .....	39

## 1. PREMESSA

Scopo del presente documento è la redazione della relazione sull'elettromagnetismo impianti finalizzato all'ottenimento dei permessi necessari all'**ammodernamento complessivo (repowering) di un impianto eolico esistente, costituito da due lotti, sito nei Comuni di Andretta e Bisaccia (AV)**, di proprietà della società Edison Rinnovabili S.p.A, connesso all'impianto Terna, sito in agro di Bisaccia (AV), realizzato ed in esercizio con: Concessione Edilizia n.34/2002 e successiva variante con Denuncia di Inizio Attività depositata in data 08/04/2004 (Comune di Andretta); Concessione edilizia in data n.20/2002 e successiva variante autorizzata con Denuncia di Inizio attività depositata in data 01/03/2004 (Comune di Bisaccia), previo parere favorevole della Commissione Tecnico – Istruttoria Regionale per la valutazione di Impatto Ambientale del 05/02/2002, recepito dalla Regione Campania con D.P.G.R.C. n.851 del 12.12.2002.

L'impianto eolico esistente si compone di due lotti: "Centrale Eolica Andretta" e "Centrale eolica Bisaccia".

La Centrale Eolica Andretta si compone di 11 aerogeneratori, di cui 9 ubicati nel territorio del Comune di Andretta e 2 in quello di Bisaccia, per una potenza complessiva pari a 22MW. La centrale eolica Bisaccia si compone di 24 aerogeneratori, di cui 5 ubicate nel territorio del Comune di Andretta e 19 in quello di Bisaccia, per una potenza complessiva pari a 48MW. Pertanto, l'impianto eolico esistente si compone di 35 aerogeneratori, con diametro di 80m, altezza al mozzo pari a 68m e potenza di 2,0MW, per una potenza totale di impianto pari a 70MW, realizzato nei Comuni di Bisaccia (AV) e Andretta (AV), con il cavidotto in media tensione interrato che raggiunge l'impianto d'utenza per connessione, connesso al limitrofo impianto di proprietà di Terna S.p.A, sito in agro di Bisaccia (AV). L'impianto eolico appena descritto è definito nel seguito "**Impianto eolico esistente**".

L'ammodernamento complessivo dell'impianto eolico esistente, oggetto della presente valutazione, consta invece nell'installazione di 18 aerogeneratori con diametro massimo di 155,0 m, altezza massima pari a 180m e potenza unitaria massima di 6,6 MW, per una potenza totale massima pari a 118,80 MW, da realizzare nel medesimo sito. In merito alle opere di connessione, è prevista:

- la sostituzione dei cavidotti interrati MT, con piccole variazioni al tracciato;
- la realizzazione di un nuovo impianto d'utenza per la connessione, costituito da una nuova stazione elettrica d'utenza 30/150kV, sbarre 150kV e cavidotto AT, quest'ultime condivise con altro produttore avente codice pratica 06020746;
- la condivisione dell'impianto di rete per la connessione con il produttore di cui sopra. In particolare, il Progetto si conetterà sullo stallo esistente ed in esercizio all'interno della stazione RTN a 380/150kV denominata "Bisaccia", su cui attualmente è connesso alla rete l'impianto con codice pratica 06020746.

Il Progetto, nella configurazione innanzi descritta, viene definito nel seguito "**Progetto di ammodernamento**".

Grazie alla particolare tecnologia delle turbine previste, non sarà necessaria la realizzazione di una cabina di trasformazione BT/ MT, alla base di ogni palo in quanto questa è già alloggiata all'interno della torre d'acciaio; il trasformatore BT/MT, con la relativa quadristica fa parte dell'aerogeneratore ed è interamente installato all'interno dell'aerogeneratore stesso, a base torre.

Le torri eoliche si raggruppano in sette linee da 30kV come di seguito riportato:

LINEA	TORRI
1	WTG AnBs 06, WTG AnBs 04
2	WTG AnBs 03, WTG AnBs 05, WTG AnBs 10
3	WTG AnBs 02, WTG AnBs 01
4	WTG AnBs 15, WTG AnBs 12, WTG AnBs 07
5	WTG AnBs 17, WTG AnBs 13, WTG AnBs 16
6	WTG AnBs 18, WTG AnBs 14, WTG AnBs 11
7	WTG AnBs 09, WTG AnBs 08

L'elettrodotto interrato a 30 kV di collegamento interno fra gli aerogeneratori sarà collegato alla stazione elettrica di Utenza.

All'interno della stazione elettrica di utenza, tramite un trasformatore/elevatore a rapporto variabile, la tensione da 30 kV a 150 kV per essere immessa nella Rete di Trasmissione Nazionale (RTN).

Il presente documento rappresenta lo studio di impatto elettromagnetico delle seguenti opere relative all'impianto di produzione di energia rinnovabile da fonte eolica:

- Cavidotti 30kV;
- Stazione elettrica di utenza;
- Impianto di utenza per la connessione.

Si rimanda alla relazione 233502\_D\_R\_0102\_00 Relazione Tecnica per una descrizione dettagliata delle caratteristiche tecniche dell'impianto in oggetto.

## 2. INTRODUZIONE

Lo sviluppo economico di un paese è strettamente collegato ai consumi e alla disponibilità di energia, la cui fonte primaria oggi è il petrolio.

I combustibili fossili però, oltre al fatto che vengono consumati con una velocità milioni di volte superiore a quella con la quale si sono accumulati naturalmente, essendo quindi destinati ad una progressiva rarefazione, sono anche i principali responsabili del degrado dell'ambiente, con gravi conseguenze sulla salute dell'uomo, sulla flora, sulla fauna e sul patrimonio artistico.

Il 14 luglio 2021 la Commissione Europea ha adottato un pacchetto di proposte, "Fit for 55%", per ridurre le emissioni nette di gas a effetto serra (GHG – greenhouse gas) di almeno il 55% entro il 2030 rispetto ai livelli del 1990, obiettivo fondamentale affinché l'Europa diventi il primo continente a impatto climatico zero entro il 2050 e si concretizzi il Green Deal Europeo. Il Consiglio Europeo ha convenuto di fissare un obiettivo vincolante a livello dell'UE del 40% di energie da fonti rinnovabili nel mix energetico complessivo entro il 2030, aumentando di fatto quanto disposto precedentemente pari al 32%.

Il 13 settembre 2023 il Parlamento Europeo ha approvato in via definitiva una serie di misure per promuovere la diffusione delle energie rinnovabili. In particolare, è stato redatto l'aggiornamento della direttiva sulle energie rinnovabili (RED III) che porta la quota vincolante di rinnovabili nel consumo finale di energia dell'UE al 42,5%, con obiettivo di raggiungere il 45%.

Il principale ostacolo alla diffusione di queste nuove energie è la loro non-competitività sul piano economico, imputabile anche al fatto che l'attuale mercato dell'energia non tiene conto dei costi sociali ed ambientali legati all'impiego dei combustibili fossili, non traducendoli in costi monetari.

L'unica tecnologia a tutt'oggi matura e quindi competitiva in questo senso è la produzione di energia elettrica da fonte eolica, con costi di produzione confrontabili con quelli degli impianti turbogas.

Alla produzione e al trasporto di energia elettrica, siano essi basati su fonti tradizionali fossili sia su fonti rinnovabili, si associano delle emissioni elettromagnetiche, dovute in massima parte alla corrente elettrica che scorre nei cavidotti aerei e/o interrati.

Nella progettazione di nuovi impianti di produzione di energia elettrica risulta dunque necessario assicurarsi che da tali opere non scaturiscano situazioni possibilmente dannose per la popolazione legate all'esposizione a campi elettromagnetici.

L'interazione tra campi elettromagnetici e sistemi biologici è governata in generale dalle equazioni di Maxwell, che descrivono la propagazione, riflessione e assorbimento dei campi elettromagnetici in tutti i mezzi, tra cui anche i tessuti biologici. In particolare, lo studio di possibili effetti legati all'esposizione a campi elettromagnetici è affrontato da una disciplina scientifica che prende il nome di bioelettromagnetismo, che in sintesi è basata sull'analisi di due aspetti:

**Dosimetria:** valutazione quantitativa del campo elettromagnetico a cui è esposto un soggetto in presenza di una data sorgente elettromagnetica;

**Effetti biologici:** valutazione di possibili effetti biologici legati all'esposizione a una certa dose di campo.

Tali effetti biologici possono essere sia dannosi che positivi (nel caso di applicazioni biomedicali), e sono strettamente legati alle caratteristiche dei campi elettromagnetici cui si è esposti: frequenza, intensità, polarizzazione, forma d'onda.

Il primo parametro di interesse è la frequenza, in quanto campi a bassa frequenza agiscono su un sistema biologico secondo

meccanismi sostanzialmente diversi da quelli ad alta frequenza.

Nel caso della bassa frequenza, come quello di elettrodotti a 50 Hz qui in esame, è possibile dimostrare che campi elettrici e magnetici sono sostanzialmente indipendenti (o disaccoppiati), per cui possono essere trattati separatamente.

## 2.1. I CAMPI ELETTRICI E MAGNETICI

Il **campo elettrico** è legato in maniera direttamente proporzionale alla tensione della sorgente; esso si attenua, allontanandosi da un elettrodotto, come l'inverso della distanza dai conduttori. Dal momento che i valori efficaci delle tensioni di linea variano debolmente con le correnti che le attraversano, l'intensità del campo elettrico può considerarsi, in prima approssimazione, costante. La presenza di alberi, oggetti conduttori o edifici in prossimità delle linee riduce l'intensità del campo elettrico, e in particolare all'interno degli edifici, si possono misurare intensità di campo fino a 10 (anche 100) volte inferiori a quelle rilevabili all'esterno.

L'intensità maggiore del campo elettrico in elettrodotti aerei si misura generalmente al centro della campata, ossia nel punto in cui i cavi si trovano alla minore distanza dal suolo. L'andamento e il valore massimo delle intensità dei campi dipenderanno anche dalla disposizione e dalle distanze tra i conduttori della linea. Per il caso di **elettrodotti interrati**, il campo elettrico è ridotto dai rivestimenti dei cavi e soprattutto dall'interramento, tanto che già a brevissima distanza dal cavo il campo è sostanzialmente trascurabile. Si pensi infatti che date le caratteristiche dielettriche del terreno, il piano di terra costituisce un riferimento elettrico equipotenziale, a potenziale nullo. Per tale motivo, il campo elettrico non è generalmente di interesse per la valutazione di effetti biologici legati alla presenza di elettrodotti in bassa frequenza, e le normative che fissano i limiti di esposizione a bassa frequenza sono incentrate sul campo magnetico, come si vedrà di seguito al paragrafo 3.

Il **campo magnetico** generato dalla corrente che scorre in un elettrodotto è invece la grandezza di maggiore interesse per la valutazione di possibili effetti biologici. Infatti, si presenta come un'onda di bassa impedenza, quindi in grado di penetrare facilmente all'interno della quasi totalità dei materiali (solo quelli ferromagnetici possono ostacolarla).

L'interazione con i tessuti organici si esplica prevalentemente con la generazione di correnti indotte dalle variazioni del campo magnetico nel tessuto stesso. Quando tali correnti sono superiori a determinate soglie, possono indurre degli effetti acuti dannosi. Le grandezze che determinano l'intensità del campo magnetico indotto da un elettrodotto sono principalmente: 1) intensità delle sorgenti (correnti di linea); 2) distanza dalle sorgenti (conduttori); 3) disposizione e distanza tra sorgenti (distanza mutua tra i conduttori di fase); 4) presenza di sorgenti compensatrici e 5) suddivisione delle sorgenti (terne multiple). I metodi di controllo del campo magnetico si basano principalmente sulla riduzione della distanza tra le fasi, sull'installazione di circuiti addizionali (spire) nei quali circolano correnti di schermo, sull'utilizzazione di circuiti in doppia terna a fasi incrociate e sull'utilizzazione di linee interrate. Campi a bassa frequenza sono emessi anche da alcuni strumenti elettromedicali e dalle apparecchiature domestiche o industriali alimentate da energia elettrica.

Ogni apparecchiatura che produce o che viene attraversata da una corrente elettrica (dinamo, cavi elettrici, elettrodomestici, etc.) è caratterizzata da un campo elettromagnetico. Il campo elettromagnetico presente in un dato punto dello spazio è definito da due vettori: il campo elettrico e l'induzione magnetica. Il primo, misurato in V/m, dipende dall'intensità e voltaggio della corrente, mentre l'induzione magnetica, che si misura in  $\mu\text{T}$ , dipende dalla permeabilità magnetica del mezzo. Il rapporto tra l'induzione magnetica e la permeabilità del mezzo individua il campo magnetico. Le grandezze caratterizzanti il campo elettrico ed il campo magnetico sono in generale intercorrelate, fatta eccezione per i campi a frequenze molto basse, per le quali il campo elettrico ed il campo magnetico possono essere considerati indipendenti. In generale le correlazioni tra campo elettrico e campo magnetico sono assai complesse, dipendono dalle caratteristiche della sorgente, dal mezzo di propagazione, dalla presenza di ostacoli nella propagazione, dalle caratteristiche del suolo e dalle frequenze in gioco. La diffusione del campo elettromagnetico nello spazio avviene nello stesso modo in tutte le direzioni; la diffusione può essere comunque alterata dalla presenza di ostacoli che, a seconda della loro natura, inducono sul campo elettromagnetico riflessioni, rifrazioni, diffusioni, assorbimento, ecc. La diffusione del campo elettromagnetico può comunque essere alterata anche dalla presenza di un altro campo elettromagnetico. Nel presente documento si esaminano le

apparecchiature e le infrastrutture necessarie alla realizzazione del progetto proposto, con particolare riguardo alla generazione di campi elettromagnetici a bassa frequenza.

Tutte le componenti del progetto operano, infatti, alla frequenza di 50 Hz, coincidente con la frequenza di esercizio della rete di distribuzione elettrica nazionale.

## 2.2. EFFETTI BIOLOGICI E LIMITI DI ESPOSIZIONE

Si è precedentemente anticipato che gli effetti biologici indotti dall'esposizione a campi elettromagnetici sono legati a meccanismi di accoppiamento sostanzialmente diversi a seconda che i campi siano ad alta o bassa frequenza.

Ad **alta frequenza** (telefonia cellulare, emissioni radiotelevisive, etc.), il meccanismo di interazione di base è quello dell'orientamento dei dipoli che costituiscono un tessuto secondo le polarità del campo, che oscillano ad alta frequenza: ciò induce una dissipazione di energia che viene assorbita dal tessuto, riscaldandolo. Tale riscaldamento, oltre una certa soglia, comporta degli effetti dannosi sul tessuto stesso fino anche alla morte cellulare per esposizioni acute. La grandezza di interesse con cui caratterizzare l'esposizione ad alta frequenza è la seguente:

- **Specific Absorption Rate (SAR)** [W/Kg]: energia per unità di tempo e di massa assorbita dal tessuto.

Numerosi studi sperimentali condotti nell'ultimo ventennio hanno permesso l'individuazione dei livelli di SAR responsabili di effetti dannosi. Sulla base di tali livelli si sono quindi definiti dei limiti di esposizione, cui fanno riferimento le normative nazionali ed internazionali. Non si approfondiranno ulteriormente tali aspetti, concentrando l'attenzione sulla bassa frequenza, che include il caso degli elettrodotti.

A **bassa frequenza**, l'interazione con i tessuti organici si esplica prevalentemente con la generazione di **correnti indotte** dalle variazioni nel tempo del campo magnetico.

Tali correnti sono la principale conseguenza dell'esposizione e la loro intensità  $J$  è definita nel modo seguente:

$$J \approx \pi \frac{L}{2} \sigma f B$$

in cui  $L$  e  $\sigma$  sono rispettivamente la dimensione caratteristica e la conducibilità del tessuto,  $f$  e  $B$  sono la frequenza e l'intensità dell'induzione magnetica indotta dall'esposizione nel tessuto biologico.

Studi sperimentali hanno messo in evidenza l'esistenza di livelli di correnti indotte alle quali si manifestano degli effetti biologici dannosi. Questi ultimi partono dalla stimolazione nervosa, alla contrazione neuro-muscolare, fino alla fibrillazione ventricolare e la folgorazione per esposizioni acute.

Sulla base dei livelli sperimentalmente individuati si definiscono quindi dei limiti di base di esposizione e, con opportuni coefficienti di sicurezza, 10 o 50, si definiscono i livelli di riferimento per la normativa di protezione dai campi elettromagnetici.

Allo stato dell'arte l'istituzione più autorevole per la revisione degli studi di ricerca e la definizione dei limiti è costituito dalla International Commission on Non Ionizing Radiation Protection (ICNIRP), che gode del riconoscimento ufficiale dell'OMS e della IARC (International Agency for Research on Cancer).

La definizione dei limiti di base secondo la guida ICNIRP (1998) si basa solo sugli effetti biologici della cui pericolosità per la salute si abbia una accertata evidenza scientifica.

È possibile differenziare due tipi di rischi:

- il rischio da esposizione (anche istantanea) a livelli elevati, per i quali sono noti gli effetti avversi da un punto di vista medico (effetti acuti);
- il rischio da esposizione prolungata a livelli inferiori, per i quali non ancora è possibile trarre conclusioni definitive.

Per quanto riguarda effetti cancerogeni, allo stato dell'arte non c'è evidenza sperimentale della loro esistenza, anche se alcuni studi epidemiologici evidenziano una correlazione statistica tra i casi di leucemia infantile e la vicinanza agli elettrodotti che trasportano elevate correnti, e valori di induzione magnetica superiori a 0.2  $\mu$ T.

La IARC ha invece deciso di classificare la esposizione ambientale a campi magnetici ELF come possibilmente cancerogena con riferimento alla leucemia infantile.

In figura 1 si riassumono i valori di induzione magnetica individuati come limiti di riferimento per le normative secondo l'ICNIRP e il CENELEC (European Committee for Electrotechnical Standardization). Si riporta anche la soglia di attenzione epidemiologica (SAE), relativa a possibili correlazioni epidemiologiche con casi di leucemia infantile.

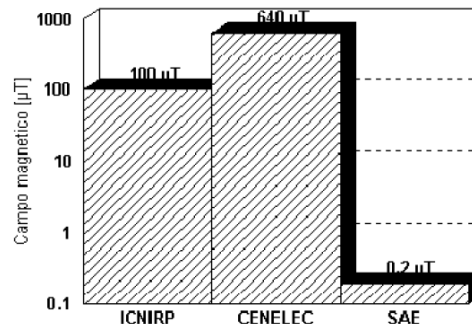


Figura 1 – Limiti di riferimento di esposizione ai campi magnetici di bassa frequenza secondo ICNIRP e CENELEC e indicazione della SAE.

Riassumendo dunque, l'ICNIRP prescrive come limite di riferimento per l'esposizione a campi elettromagnetici di bassa frequenza il valore di induzione magnetica B pari a 100 µT, mentre il CENELEC considera un valore più elevato, pari a 640 µT.

### 3. INQUADRAMENTO NORMATIVO

Numerosi paesi come ad esempio la Germania adottano come limiti di legge relativi all'esposizione ai campi elettromagnetici i livelli di riferimento individuati dalla commissione ICNIRP.

L'Italia anche in seguito a pressioni mediatiche ha provveduto a emanare norme via via più restrittive in materia di protezione dai campi elettromagnetici, anche in assenza di studi sperimentali che suggeriscano tale direzione.

Attualmente, l'esposizione ai campi elettromagnetici è regolamentata dalla legge n.36 del 22 febbraio 2001, che stabilisce il quadro normativo per gli impianti esistenti e per quelli costruendi. Tale legge quadro ha fissato i criteri e il contesto di riferimento per l'esposizione ai campi elettromagnetici ed è stata seguita nel 2003 da decreti attuativi che indicano i valori di legge da rispettare.

Dall'articolo 3 della "Legge quadro 22/02/2001, n. 36", "Legge quadro sulla protezione dalle esposizioni a campi elettrici, magnetici ed elettromagnetici", "G.U. 7 marzo 2001, n.55", si riportano le definizioni delle grandezze di interesse per la caratterizzazione dell'esposizione a campi elettromagnetici:

- a) **esposizione**: è la condizione di una persona soggetta a campi elettrici, magnetici, elettromagnetici, o a correnti di contatto, di origine artificiale;
- b) **limite di esposizione**: è il valore di campo elettrico, magnetico ed elettromagnetico, considerato come valore di immissione, definito ai fini della tutela della salute da effetti acuti, che non deve essere superato in alcuna condizione di esposizione della popolazione e dei lavoratori per le finalità di cui all'articolo 1, comma 1, lettera a);
- c) **valore di attenzione**: è il valore di campo elettrico, magnetico ed elettromagnetico, considerato come valore di immissione, che non deve essere, superato negli ambienti abitativi, scolastici e nei luoghi adibiti a permanenze prolungate per le finalità di cui all'articolo 1, comma 1, lettere b) e c). Esso costituisce misura di cautela ai fini della protezione da possibili effetti a lungo termine e deve essere raggiunto nei tempi e nei modi previsti dalla legge;
- d) **obiettivi di qualità** sono:
  - 1) i criteri localizzativi, gli standard urbanistici, le prescrizioni e le incentivazioni per l'utilizzo delle migliori tecnologie disponibili, indicati dalle leggi regionali secondo le competenze definite dall'articolo 8;
  - 2) i valori di campo elettrico, magnetico ed elettromagnetico, definiti dallo Stato secondo le previsioni di cui all'articolo 4, comma 1, lettera a), ai fini della progressiva mitigazione dell'esposizione ai campi medesimi;
- e) **elettrodotta**: è l'insieme delle linee elettriche, delle sottostazioni e delle cabine di trasformazione;

f) **esposizione dei lavoratori e delle lavoratrici:** è ogni tipo di esposizione dei lavoratori e delle lavoratrici che, per la loro specifica attività lavorativa, sono esposti a campi elettrici, magnetici ed elettromagnetici;

g) **esposizione della popolazione:** è ogni tipo di esposizione ai campi elettrici, magnetici ed elettromagnetici. ad eccezione dell'esposizione di cui alla lettera f) e di quella intenzionale per scopi diagnostici o terapeutici;(…)

Successivamente due decreti del Presidente del Consiglio 8 luglio 2003 hanno fissato i limiti di esposizione, i valori di attenzione e gli obiettivi di qualità per la protezione della popolazione. I due decreti disciplinano separatamente le basse (elettrodotti) e le alte frequenze (impianti radiotelevisivi, stazioni radio base, ponti radio).

### Obiettivi di qualità

Nella progettazione di nuovi elettrodotti in corrispondenza di aree gioco per l'infanzia, di ambienti abitativi, di ambienti scolastici e di luoghi adibiti a permanenze non inferiori a quattro ore e nella progettazione dei nuovi insediamenti e delle nuove aree di cui sopra in prossimità di linee ed installazioni elettriche già presenti nel territorio, ai fini della progressiva minimizzazione dell'esposizione ai campi elettrici e magnetici generati dagli elettrodotti operanti alla frequenza di 50 Hz, è fissato l'obiettivo di qualità di **3  $\mu$ T** per il valore dell'induzione magnetica, da intendersi come mediana dei valori nell'arco delle 24 ore nelle normali condizioni di esercizio. Riassumendo dunque i limiti di legge in vigore in Italia relativi all'esposizione a campi elettromagnetici alla frequenza di 50 Hz sono quelli riportati in tabella 1.

Frequenza 50 Hz	Intensità di campo elettrico E (kV/m)	Induzione Magnetica B ( $\mu$ T)
Limite di esposizione * (da non superare mai)	5	100
Valore di attenzione ** (da non superare in ambienti abitativi già esistenti e comunque nei luoghi adibiti a permanenze non inferiori a 4 ore)	-	10
Obiettivo di qualità ** (da non superare per i nuovi elettrodotti o le nuove abitazioni in prossimità di elettrodotti esistenti)	-	3

Tabella 1 – Limiti della normativa italiana sull'esposizione a campi elettromagnetici a 50 Hz, indicati nel DPCM dell'8 Luglio 2003

A titolo esemplificativo si riportano in tabella 2 i livelli di induzione magnetica generati da comuni elettrodomestici alimentati dalla rete elettrica a 50 Hz.

Si noti che in prossimità degli stessi si raggiungono valori ben superiori ai limiti di legge, anche se l'uso di tali strumenti non comporta tipicamente esposizione di tipo prolungato.



Fonte	Induzione magnetica $\mu\text{T}$	
	vicino	30 cm
Apriscatole	2000	16
Asciugacapelli	2500	7
Aspirapolvere	800	20
Coperta elettrica	30	-
Ferro da stiro	30	0.4
Forno elettrico	1000	20
Frullatore	700	10
HiFi	5	5
Lampada 325 W	2500	-
Lampada alogena	12	12
Lampada a incandescenza	400	4
Calzettiera elettrica	2.5	0.15
Monitor computer	0.25	0.25
Radiosveglia	5	5
Rasoio elettrico	1500	9
Saldatore	800	20
Sega elettrica	1000	25
Trapano	800	16
TV color	500	4
Ventilatore	130	40

Tabella 2 – Induzione magnetica B generata da comuni elettrodomestici a 50 Hz

#### 4. CAMPI ELETTROMAGNETICI GENERATI DALLE COMPONENTI DELL'IMPIANTO EOLICO

##### 4.1. IDENTIFICAZIONE DELLE COMPONENTI

Il progetto proposto prevede la realizzazione di un impianto per la produzione di energia elettrica tramite lo sfruttamento del vento; l'impianto è costituito dai seguenti elementi principali che, avendo parti in tensione, possono dar luogo all'emissione di onde elettromagnetiche:

- Cavidotti 30kV;
- Stazione elettrica di utenza;
- Impianto di utenza per la connessione.

Gli impianti eolici, essendo costituiti fondamentalmente da elementi per la produzione ed il trasporto di energia elettrica, sono interessati dalla presenza di campi elettromagnetici.

##### 4.1.1. CAVIDOTTI 30kV

Per la realizzazione dei cavidotti 30kV di utenza sono stati considerati tutti gli accorgimenti che consentono la minimizzazione degli effetti elettromagnetici sull'ambiente e sulle persone. In particolare, la scelta di operare con linee a 30kV interrate permette di eliminare la componente elettrica del campo, grazie all'effetto schermante del terreno. Le linee a 30kV come da previsioni progettuali, sono tutte interrate conformi alle Norme CEI 23-46 (CEI EN 50086-2-4).

##### *Determinazione della portata in regime permanente*

Il cavidotto in media tensione è costituito da terne di cavi unipolari con conduttori in alluminio aventi isolamento estruso (XLPE) con schermo in rame avvolto a nastro sulle singole fasi. Le sezioni unificate utilizzate sono da 120, 400 e 630.

Ai fini della verifica sono stati utilizzati cavi aventi le seguenti caratteristiche:

Sezione conduttore [mm <sup>2</sup> ]	Diametro conduttore [mm]	Diametro est. cavo [mm]	Tipologia	Portata [A]
3x1x120	12,9	33,5	Unipolare	255
3x1x400	23,8	37,9	Unipolare	479
3x1x630	30,0	58,6	Unipolare	644

Tabella 3: Caratteristiche elettriche cavi

**Simulazione di calcolo della linea 30kV:**

Sebbene il D.M. 29 maggio 2008 non preveda il calcolo della distanza di prima approssimazione per linee interrate, si procederà ugualmente alla sua determinazione a favore di una maggiore sicurezza.

Ai fini della simulazione sono state fatte le seguenti considerazioni:

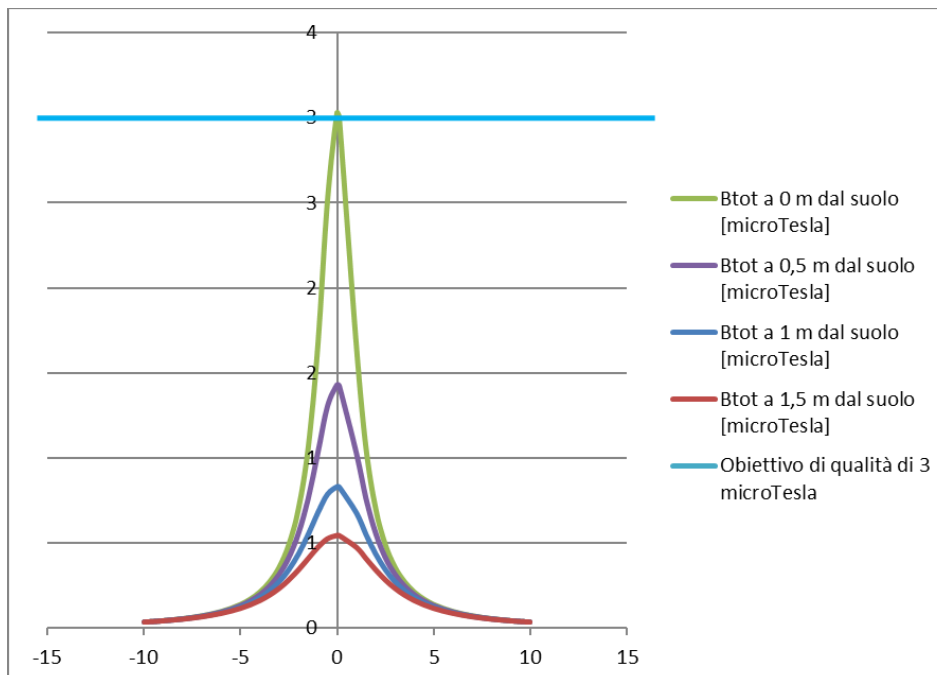
Si riporta di seguito tabella reipilogativa con indicazione dei tratti e sezione cavi utilizzate al fine del calcolo della DPA:

CAVIDOTTO	TRATTI	TERNE
Cavidotto MT (30kV)	1-2; 2-3; 8-9; 12-13; 23-24; 26-27; 33-35; 39-41; 41-41a; 41a-41b; 41b-42	3x1x120
	32-33	3x1x400
	3-5; 10-12; 36-38; 38-39	3x1x630
	10-11; 21-22; 29-31; 33-34	3x1x120+3x1x400
	3-4; 12-14; 28-29; 39-40	3x1x120+3x1x630
	6-6a; 6a-6b; 6b-7; 7-8; 6-6b; 6b-6c; 6c-15; 15-16; 19-20; 29-30; 36-37	3x1x400+3x1x630
	8-10	3x1x120+3x1x400+3x1x630
	32-36	3x1x400+2x(3x1x630)
	21-23; 26-28	3x1x120+3x(3x1x630)
	19-19a; 19a-19b; 19b-21	3x1x400+3x(3x1x630)
	5-6; 28-28a; 28a-28b; 28b-32	2x(3x1x630)
	5-5a; 5a-5b; 5b-5c; 5c-5d; 5d-17; 23-23a; 23a-25; 25-25a; 25a-25b; 25-b-26	3x(3x1x630)
	17-19	4x(3x1x630)
17-18	7x(3x1x630)	

Per la localizzazione dei tratti innanzi specificati, si rimanda ai documenti precisati al paragrafo 6. Allegati

**TRATTI 1-2; 2-3; 8-9; 12-13; 23-24; 26-27; 33-35; 39-41; 41-41a; 41a-41b; 41b-42**

I valori del campo magnetico sono stati simulati al suolo, a 0,5 m dal suolo, a 1,0 m dal suolo e a 1,5 m dal suolo. Più precisamente, i risultati di seguito riportati illustrano l'andamento del campo magnetico in funzione della distanza dall'asse dei conduttori e l'andamento del campo magnetico su di un asse ortogonale all'asse dei conduttori.



Andamento del campo magnetico generato dal cavidotto, composto da una terna da 120 mm<sup>2</sup>

Distanza dall'asse centrale [m]	B <sub>tot</sub> a 0 m dal suolo [mT]	B <sub>tot</sub> a 0,5 m dal suolo [mT]	B <sub>tot</sub> a 1 m dal suolo [mT]	B <sub>tot</sub> a 1,5 m dal suolo [mT]
-10,00	0,04	0,04	0,04	0,03
-9,50	0,04	0,04	0,04	0,04
-9,00	0,04	0,04	0,04	0,04
-8,50	0,05	0,05	0,05	0,05
-8,00	0,06	0,06	0,05	0,05
-7,50	0,06	0,06	0,06	0,06
-7,00	0,07	0,07	0,07	0,07
-6,50	0,08	0,08	0,08	0,07
-6,00	0,10	0,10	0,09	0,09
-5,50	0,12	0,11	0,11	0,10
-5,00	0,14	0,13	0,12	0,12
-4,50	0,17	0,16	0,15	0,14
-4,00	0,21	0,20	0,18	0,16
-3,50	0,27	0,25	0,22	0,19
-3,00	0,36	0,32	0,27	0,23
-2,50	0,49	0,42	0,34	0,28
-2,00	0,70	0,56	0,44	0,34
-1,50	1,06	0,76	0,55	0,41
-1,00	1,66	1,03	0,68	0,47
-0,50	2,51	1,30	0,79	0,52
0,00	3,03	1,43	0,83	0,54
0,11	3,00	1,43	0,83	0,54

Distanza dall'asse centrale [m]	B <sub>tot</sub> a 0 m dal suolo [mT]	B <sub>tot</sub> a 0,5 m dal suolo [mT]	B <sub>tot</sub> a 1 m dal suolo [mT]	B <sub>tot</sub> a 1,5 m dal suolo [mT]
1,00	1,66	1,03	0,68	0,47
1,50	1,06	0,76	0,55	0,41
2,00	0,70	0,56	0,44	0,34
2,50	0,49	0,42	0,34	0,28
3,00	0,36	0,32	0,27	0,23
3,50	0,27	0,25	0,22	0,19
4,00	0,21	0,20	0,18	0,16
4,50	0,17	0,16	0,15	0,14
5,00	0,14	0,13	0,12	0,12
5,50	0,12	0,11	0,11	0,10
6,00	0,10	0,10	0,09	0,09
6,50	0,08	0,08	0,08	0,07
7,00	0,07	0,07	0,07	0,07
7,50	0,06	0,06	0,06	0,06
8,00	0,06	0,06	0,05	0,05
8,50	0,05	0,05	0,05	0,05
9,00	0,04	0,04	0,04	0,04
9,50	0,04	0,04	0,04	0,04
10,00	0,04	0,04	0,04	0,03

*Andamento del campo magnetico generato composto da una terna da 120 mm<sup>2</sup>*

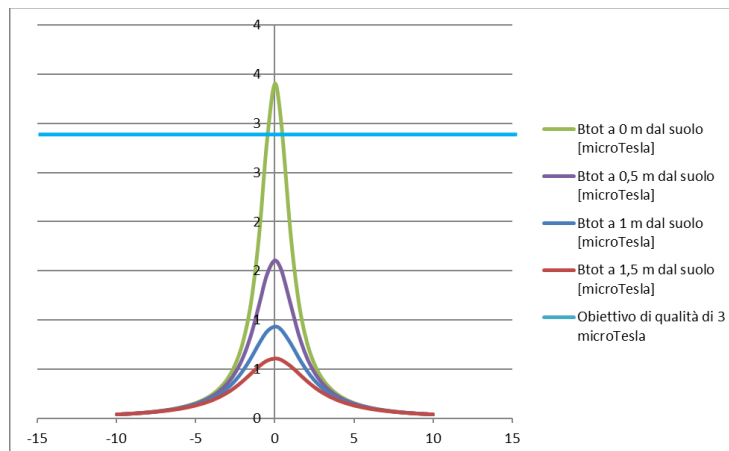
***Determinazione della DPA e della fascia di rispetto:***

La DPA calcolata è rappresentata dalla distanza tra l'asse del cavidotto e un punto individuato al suolo il cui valore del campo magnetico risulta essere uguale o inferiore ai 3  $\mu$ T.

Come si evince dal grafico e dalla tabella di cui sopra, **la DPA risulta pari a 0,11 m e approssimandola al metro superiore risulta pari a 1,00 m.**

***TRATTO 32-33***

I valori del campo magnetico sono stati simulati al suolo, a 0,5 m dal suolo, a 1,0 m dal suolo e a 1,5 m dal suolo. Più precisamente, i risultati di seguito riportati illustrano l'andamento del campo magnetico in funzione della distanza dall'asse dei conduttori e l'andamento del campo magnetico su di un asse ortogonale all'asse dei conduttori.



Andamento del campo magnetico generato dal cavidotto, composto da una terna da 400 mm<sup>2</sup>

Distanza dall'asse centrale [m]	B <sub>tot</sub> a 0 m dal suolo [mT]	B <sub>tot</sub> a 0,5 m dal suolo [mT]	B <sub>tot</sub> a 1 m dal suolo [mT]	B <sub>tot</sub> a 1,5 m dal suolo [mT]
-10,00	0,04	0,04	0,04	0,04
-9,50	0,05	0,04	0,04	0,04
-9,00	0,05	0,05	0,05	0,05
-8,50	0,06	0,06	0,05	0,05
-8,00	0,06	0,06	0,06	0,06
-7,50	0,07	0,07	0,07	0,07
-7,00	0,08	0,08	0,08	0,07
-6,50	0,09	0,09	0,09	0,08
-6,00	0,11	0,11	0,10	0,10
-5,50	0,13	0,13	0,12	0,11
-5,00	0,16	0,15	0,14	0,13
-4,50	0,19	0,18	0,17	0,15
-4,00	0,24	0,22	0,20	0,18
-3,50	0,31	0,28	0,25	0,22
-3,00	0,40	0,36	0,31	0,26
-2,50	0,55	0,47	0,39	0,32
-2,00	0,79	0,63	0,49	0,38
-1,50	1,19	0,86	0,62	0,46
-1,00	1,86	1,16	0,76	0,53
-0,50	2,82	1,47	0,88	0,59
0,00	3,40	1,61	0,93	0,61
0,41	3,00	1,51	0,90	0,59
1,00	1,86	1,16	0,76	0,53
1,50	1,19	0,86	0,62	0,46
2,00	0,79	0,63	0,49	0,38
2,50	0,55	0,47	0,39	0,32
3,00	0,40	0,36	0,31	0,26
3,50	0,31	0,28	0,25	0,22
4,00	0,24	0,22	0,20	0,18

Distanza dall'asse centrale [m]	B <sub>tot</sub> a 0 m dal suolo [mT]	B <sub>tot</sub> a 0,5 m dal suolo [mT]	B <sub>tot</sub> a 1 m dal suolo [mT]	B <sub>tot</sub> a 1,5 m dal suolo [mT]
4,50	0,19	0,18	0,17	0,15
5,00	0,16	0,15	0,14	0,13
5,50	0,13	0,13	0,12	0,11
6,00	0,11	0,11	0,10	0,10
6,50	0,09	0,09	0,09	0,08
7,00	0,08	0,08	0,08	0,07
7,50	0,07	0,07	0,07	0,07
8,00	0,06	0,06	0,06	0,06
8,50	0,06	0,06	0,05	0,05
9,00	0,05	0,05	0,05	0,05
9,50	0,05	0,04	0,04	0,04
10,00	0,04	0,04	0,04	0,04

Andamento del campo magnetico generato composto da una terna da 400 mm<sup>2</sup>

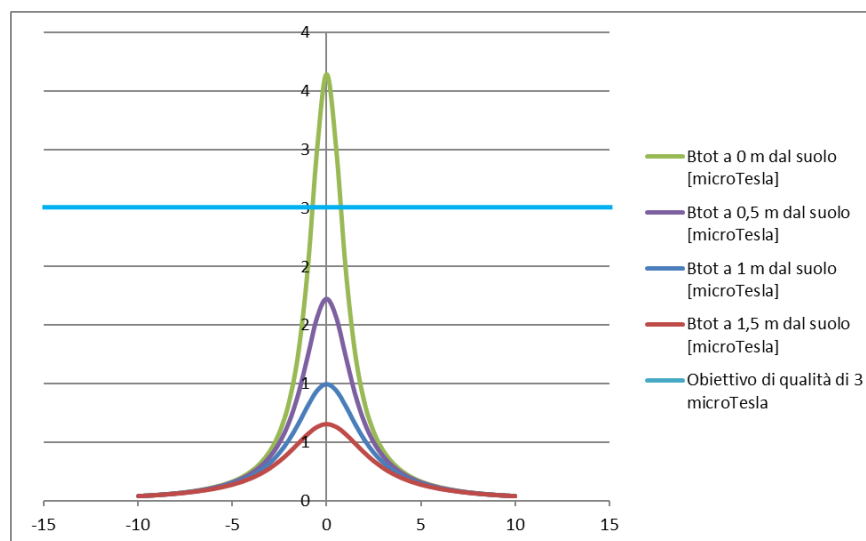
#### Determinazione della DPA e della fascia di rispetto:

La DPA calcolata è rappresentata dalla distanza tra l'asse del cavidotto e un punto individuato al suolo il cui valore del campo magnetico risulta essere uguale o inferiore ai 3 μT.

Come si evince dal grafico e dalla tabella di cui sopra, **la DPA risulta pari a 0,41 m e approssimandola al metro superiore risulta pari a 1,00 m.**

#### TRATTI 3-5; 10-12; 36-38; 38-39

I valori del campo magnetico sono stati simulati al suolo, a 0,5 m dal suolo, a 1,0 m dal suolo e a 1,5 m dal suolo. Più precisamente, i risultati di seguito riportati illustrano l'andamento del campo magnetico in funzione della distanza dall'asse dei conduttori e l'andamento del campo magnetico su di un asse ortogonale all'asse dei conduttori.



Andamento del campo magnetico generato dal cavidotto, composto da una terna da 630 mm<sup>2</sup>

Distanza dall'asse centrale [m]	B <sub>tot</sub> a 0 m dal suolo [mT]	B <sub>tot</sub> a 0,5 m dal suolo [mT]	B <sub>tot</sub> a 1 m dal suolo [mT]	B <sub>tot</sub> a 1,5 m dal suolo [mT]
-10,00	0,04	0,04	0,04	0,04
-9,50	0,05	0,05	0,05	0,05
-9,00	0,05	0,05	0,05	0,05
-8,50	0,06	0,06	0,06	0,06
-8,00	0,07	0,07	0,06	0,06
-7,50	0,08	0,07	0,07	0,07
-7,00	0,09	0,09	0,08	0,08
-6,50	0,10	0,10	0,09	0,09
-6,00	0,12	0,11	0,11	0,10
-5,50	0,14	0,13	0,13	0,12
-5,00	0,17	0,16	0,15	0,14
-4,50	0,21	0,19	0,18	0,16
-4,00	0,26	0,24	0,22	0,19
-3,50	0,33	0,30	0,26	0,23
-3,00	0,43	0,38	0,33	0,28
-2,50	0,59	0,50	0,41	0,34
-2,00	0,85	0,67	0,52	0,41
-1,50	1,27	0,92	0,66	0,49
-1,00	2,00	1,24	0,82	0,57
-0,50	3,02	1,57	0,95	0,63
0,00	3,64	1,72	1,00	0,65
0,51	3,00	1,56	0,94	0,63
1,00	2,00	1,24	0,82	0,57
1,50	1,27	0,92	0,66	0,49
2,00	0,85	0,67	0,52	0,41
2,50	0,59	0,50	0,41	0,34
3,00	0,43	0,38	0,33	0,28
3,50	0,33	0,30	0,26	0,23
4,00	0,26	0,24	0,22	0,19
4,50	0,21	0,19	0,18	0,16
5,00	0,17	0,16	0,15	0,14
5,50	0,14	0,13	0,13	0,12
6,00	0,12	0,11	0,11	0,10
6,50	0,10	0,10	0,09	0,09
7,00	0,09	0,09	0,08	0,08
7,50	0,08	0,07	0,07	0,07
8,00	0,07	0,07	0,06	0,06
8,50	0,06	0,06	0,06	0,06
9,00	0,05	0,05	0,05	0,05
9,50	0,05	0,05	0,05	0,05
10,00	0,04	0,04	0,04	0,04

Andamento del campo magnetico generato composto da una terna da 630 mm<sup>2</sup>

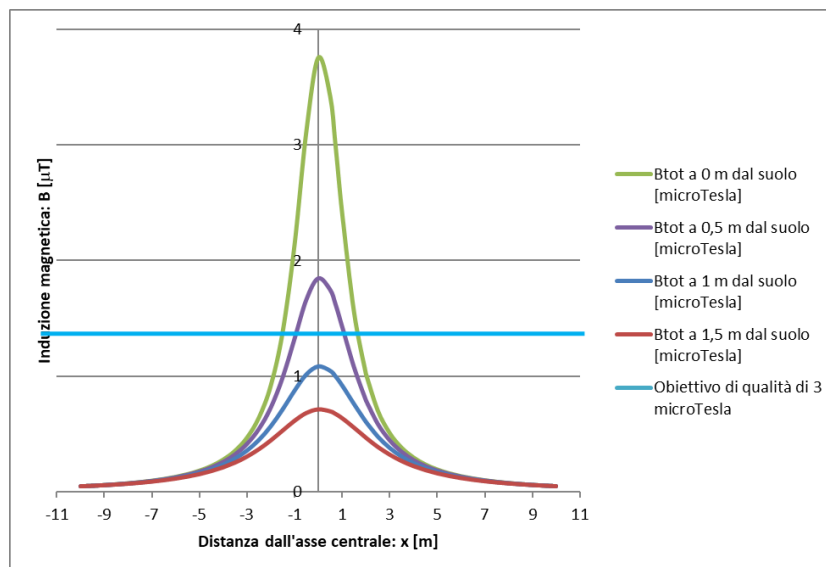
### Determinazione della DPA e della fascia di rispetto:

La DPA calcolata è rappresentata dalla distanza tra l'asse del cavidotto e un punto individuato al suolo il cui valore del campo magnetico risulta essere uguale o inferiore ai  $3 \mu\text{T}$ .

Come si evince dal grafico e dalla tabella di cui sopra, **la DPA risulta pari a 0,51 m e approssimandola al metro superiore risulta pari a 1,00 m.**

### TRATTI 10-11; 21-22; 29-31; 33-34

I valori del campo magnetico sono stati simulati al suolo, a 0,5 m dal suolo, a 1,0 m dal suolo e a 1,5 m dal suolo. Più precisamente, i risultati di seguito riportati illustrano l'andamento del campo magnetico in funzione della distanza dall'asse dei conduttori e l'andamento del campo magnetico su di un asse ortogonale all'asse dei conduttori.



Andamento del campo magnetico generato dal cavidotto, composto da due terne una da  $120 \text{ mm}^2$  e una da  $400 \text{ mm}^2$

Distanza dall'asse centrale [m]	$B_{\text{tot}}$ a 0 m dal suolo [mT]	$B_{\text{tot}}$ a 0,5 m dal suolo [mT]	$B_{\text{tot}}$ a 1 m dal suolo [mT]	$B_{\text{tot}}$ a 1,5 m dal suolo [mT]
-10,00	0,05	0,05	0,05	0,05
-9,50	0,05	0,05	0,05	0,05
-9,00	0,06	0,06	0,06	0,06
-8,50	0,07	0,06	0,06	0,06
-8,00	0,07	0,07	0,07	0,07
-7,50	0,08	0,08	0,08	0,08
-7,00	0,10	0,09	0,09	0,09
-6,50	0,11	0,11	0,10	0,10
-6,00	0,13	0,12	0,12	0,11
-5,50	0,15	0,15	0,14	0,13
-5,00	0,18	0,17	0,16	0,15
-4,50	0,22	0,21	0,19	0,18
-4,00	0,28	0,26	0,24	0,21



Distanza dall'asse centrale [m]	B <sub>tot</sub> a 0 m dal suolo [mT]	B <sub>tot</sub> a 0,5 m dal suolo [mT]	B <sub>tot</sub> a 1 m dal suolo [mT]	B <sub>tot</sub> a 1,5 m dal suolo [mT]
-3,50	0,36	0,32	0,29	0,25
-3,00	0,47	0,41	0,36	0,30
-2,50	0,64	0,54	0,45	0,37
-2,00	0,92	0,73	0,57	0,44
-1,50	1,38	0,99	0,71	0,53
-1,00	2,14	1,32	0,88	0,62
-0,50	3,13	1,66	1,02	0,68
0,00	3,76	1,84	1,09	0,71
0,50	3,42	1,74	1,05	0,70
0,72	3,01	1,62	1,00	0,67
1,00	2,42	1,43	0,92	0,64
1,50	1,56	1,08	0,76	0,55
2,00	1,02	0,79	0,61	0,47
2,00	1,02	0,79	0,61	0,47
2,50	0,71	0,59	0,48	0,39
3,00	0,51	0,45	0,38	0,32
3,50	0,38	0,35	0,31	0,27
4,00	0,30	0,27	0,25	0,22
4,50	0,24	0,22	0,20	0,19
5,00	0,19	0,18	0,17	0,16
5,50	0,16	0,15	0,15	0,14
6,00	0,14	0,13	0,12	0,12
6,50	0,12	0,11	0,11	0,10
7,00	0,10	0,10	0,09	0,09
7,50	0,09	0,08	0,08	0,08
8,00	0,08	0,07	0,07	0,07
8,50	0,07	0,07	0,06	0,06
9,00	0,06	0,06	0,06	0,06
9,50	0,05	0,05	0,05	0,05
10,00	0,05	0,05	0,05	0,05

Andamento del campo magnetico generato composto da due terne una da 120 mm<sup>2</sup> e una da 400 mm<sup>2</sup>

**Determinazione della DPA e della fascia di rispetto:**

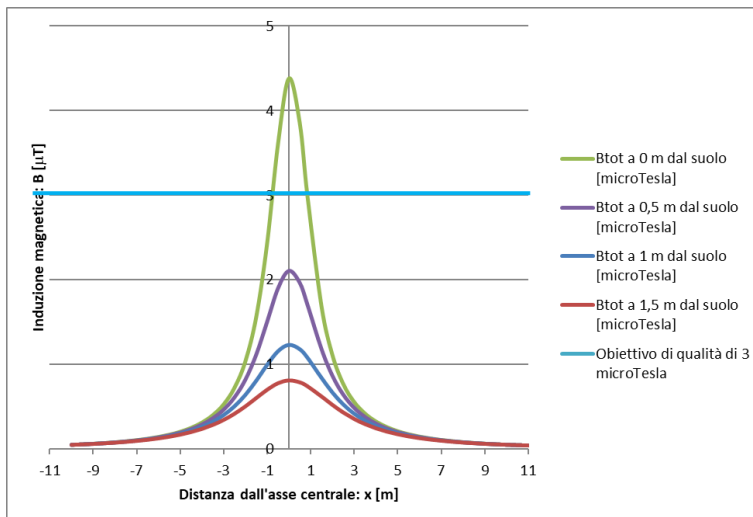
La DPA calcolata è rappresentata dalla distanza tra l'asse del cavidotto e un punto individuato al suolo il cui valore del campo magnetico risulta essere uguale o inferiore ai 3  $\mu$ T.

Come si evince dal grafico e dalla tabella di cui sopra, **la DPA risulta pari a 0,72 m e approssimandola al metro superiore risulta pari a 1,00 m.**

**TRATTI 3-4; 12-14; 28-29; 39-40**

I valori del campo magnetico sono stati simulati al suolo, a 0,5 m dal suolo, a 1,0 m dal suolo e a 1,5 m dal suolo. Più precisamente,

i risultati di seguito riportati illustrano l'andamento del campo magnetico in funzione della distanza dall'asse dei conduttori e l'andamento del campo magnetico su di un asse ortogonale all'asse dei conduttori.



Andamento del campo magnetico generato composto da due terne una da 630 mm<sup>2</sup> e una da 120 mm<sup>2</sup>

Distanza dall'asse centrale [m]	B <sub>tot</sub> a 0 m dal suolo [mT]	B <sub>tot</sub> a 0,5 m dal suolo [mT]	B <sub>tot</sub> a 1 m dal suolo [mT]	B <sub>tot</sub> a 1,5 m dal suolo [mT]
-10,00	0,05	0,05	0,05	0,05
-9,50	0,06	0,06	0,06	0,06
-9,00	0,07	0,07	0,06	0,06
-8,50	0,07	0,07	0,07	0,07
-8,00	0,08	0,08	0,08	0,08
-7,50	0,09	0,09	0,09	0,09
-7,00	0,11	0,11	0,10	0,10
-6,50	0,13	0,12	0,12	0,11
-6,00	0,15	0,14	0,13	0,13
-5,50	0,17	0,17	0,16	0,15
-5,00	0,21	0,20	0,19	0,17
-4,50	0,25	0,24	0,22	0,20
-4,00	0,32	0,29	0,27	0,24
-3,50	0,40	0,37	0,33	0,29
-3,00	0,53	0,47	0,41	0,34
-2,50	0,73	0,62	0,51	0,42
-2,00	1,04	0,83	0,64	0,50
-1,50	1,57	1,12	0,81	0,60
-1,00	2,43	1,51	1,00	0,70
-0,50	3,61	1,91	1,16	0,78
0,00	4,38	2,11	1,24	0,81
0,50	3,85	1,97	1,18	0,79
0,85	3,00	1,72	1,09	0,74
1,50	1,69	1,19	0,85	0,62
2,00	1,11	0,87	0,67	0,52
2,50	0,77	0,65	0,53	0,43
3,00	0,56	0,49	0,42	0,36

Distanza dall'asse centrale [m]	B <sub>tot</sub> a 0 m dal suolo [mT]	B <sub>tot</sub> a 0,5 m dal suolo [mT]	B <sub>tot</sub> a 1 m dal suolo [mT]	B <sub>tot</sub> a 1,5 m dal suolo [mT]
3,50	0,42	0,38	0,34	0,30
4,00	0,33	0,30	0,28	0,25
4,50	0,26	0,25	0,23	0,21
5,00	0,21	0,20	0,19	0,18
5,50	0,18	0,17	0,16	0,15
6,00	0,15	0,15	0,14	0,13
6,50	0,13	0,12	0,12	0,11
7,00	0,11	0,11	0,10	0,10
7,50	0,10	0,09	0,09	0,09
8,00	0,09	0,08	0,08	0,08
8,50	0,08	0,07	0,07	0,07
9,00	0,07	0,07	0,07	0,06
9,50	0,06	0,06	0,06	0,06
10,00	0,05	0,05	0,05	0,05
10,50	0,05	0,05	0,05	0,05
11,00	0,05	0,04	0,04	0,04

Andamento del campo magnetico generato composto da due terne una da 630 mm<sup>2</sup> e una da 120 mm<sup>2</sup>

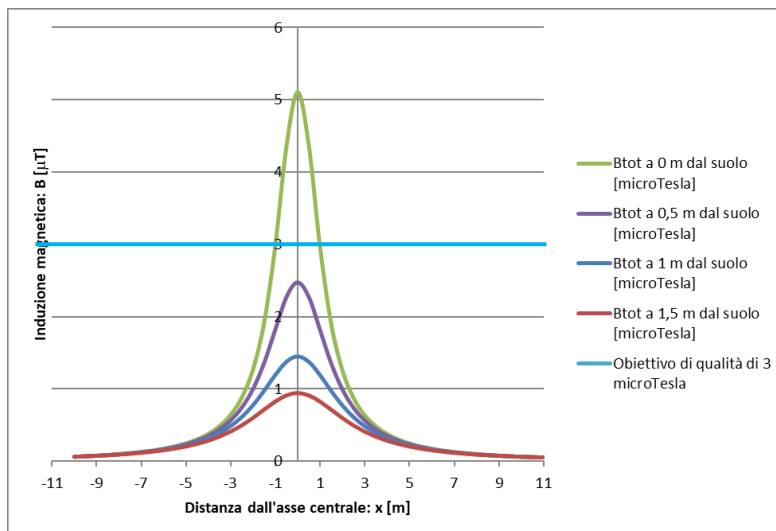
#### Determinazione della DPA e della fascia di rispetto:

La DPA calcolata è rappresentata dalla distanza tra l'asse del cavidotto e un punto individuato al suolo il cui valore del campo magnetico risulta essere uguale o inferiore ai 3 µT.

Come si evince dal grafico e dalla tabella di cui sopra, **la DPA risulta pari a 0,85 m e approssimandola al metro superiore risulta pari a 1,00 m.**

#### TRATTI 6-6a; 6a-6b; 6b-7; 7-8; 6-6b; 6b-6c; 6c-15; 15-16; 19-20; 29-30; 36-37

I valori del campo magnetico sono stati simulati al suolo, a 0,5 m dal suolo, a 1,0 m dal suolo e a 1,5 m dal suolo. Più precisamente, i risultati di seguito riportati illustrano l'andamento del campo magnetico in funzione della distanza dall'asse dei conduttori e l'andamento del campo magnetico su di un asse ortogonale all'asse dei conduttori.



Andamento del campo magnetico generato dal cavidotto, composto da due terne una da 630 mm<sup>2</sup> e una da 400 mm<sup>2</sup>

Distanza dall'asse centrale [m]	B <sub>tot</sub> a 0 m dal suolo [mT]	B <sub>tot</sub> a 0,5 m dal suolo [mT]	B <sub>tot</sub> a 1 m dal suolo [mT]	B <sub>tot</sub> a 1,5 m dal suolo [mT]
-10,00	0,06	0,06	0,06	0,06
-9,50	0,07	0,07	0,07	0,07
-9,00	0,08	0,08	0,08	0,07
-8,50	0,09	0,09	0,08	0,08
-8,00	0,10	0,10	0,09	0,09
-7,50	0,11	0,11	0,11	0,10
-7,00	0,13	0,13	0,12	0,12
-6,50	0,15	0,14	0,14	0,13
-6,00	0,17	0,17	0,16	0,15
-5,50	0,21	0,20	0,19	0,18
-5,00	0,25	0,24	0,22	0,20
-4,50	0,30	0,29	0,26	0,24
-4,00	0,38	0,35	0,32	0,29
-3,50	0,49	0,44	0,39	0,34
-3,00	0,64	0,57	0,49	0,41
-2,50	0,89	0,74	0,61	0,50
-2,00	1,27	1,00	0,77	0,60
-1,50	1,93	1,36	0,97	0,72
-1,00	2,99	1,82	1,19	0,83
-0,50	4,37	2,27	1,37	0,92
0,00	5,11	2,47	1,45	0,95
0,50	4,36	2,27	1,37	0,91
0,99	3,00	1,83	1,19	0,83
1,50	1,90	1,35	0,97	0,72
2,00	1,26	0,99	0,77	0,60
2,50	0,88	0,74	0,61	0,50
3,00	0,64	0,56	0,48	0,41
3,50	0,48	0,44	0,39	0,34
4,00	0,38	0,35	0,32	0,28
4,50	0,30	0,28	0,26	0,24
5,00	0,25	0,23	0,22	0,20
5,50	0,21	0,20	0,19	0,17
6,00	0,17	0,17	0,16	0,15
6,50	0,15	0,14	0,14	0,13
7,00	0,13	0,13	0,12	0,12
7,50	0,11	0,11	0,11	0,10
8,00	0,10	0,10	0,09	0,09
8,50	0,09	0,09	0,08	0,08
9,00	0,08	0,08	0,08	0,07

Distanza dall'asse centrale [m]	B <sub>tot</sub> a 0 m dal suolo [mT]	B <sub>tot</sub> a 0,5 m dal suolo [mT]	B <sub>tot</sub> a 1 m dal suolo [mT]	B <sub>tot</sub> a 1,5 m dal suolo [mT]
9,50	0,07	0,07	0,07	0,07
10,00	0,06	0,06	0,06	0,06
10,50	0,06	0,06	0,06	0,06
11,00	0,05	0,05	0,05	0,05

Andamento del campo magnetico generato composto da due terne una da 630 mm<sup>2</sup> e una da 400 mm<sup>2</sup>

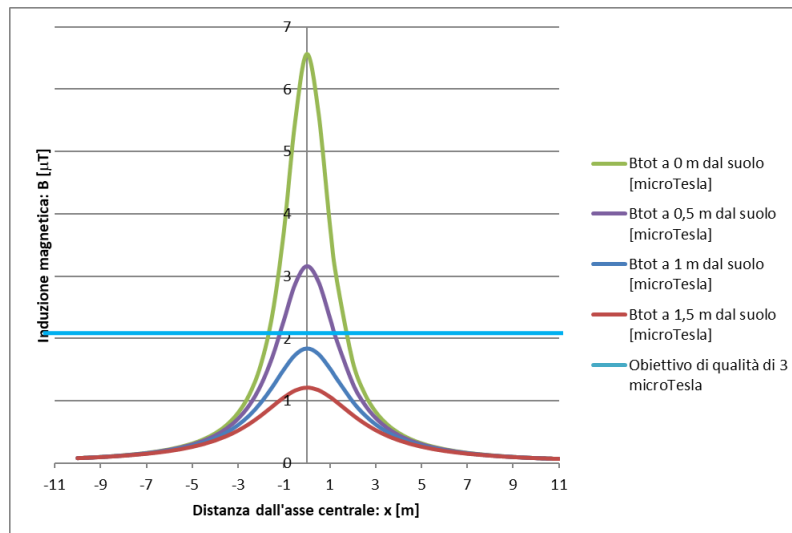
#### Determinazione della DPA e della fascia di rispetto:

La DPA calcolata è rappresentata dalla distanza tra l'asse del cavidotto e un punto individuato al suolo il cui valore del campo magnetico risulta essere uguale o inferiore ai 3 μT.

Come si evince dal grafico e dalla tabella di cui sopra, **la DPA risulta pari a 0,99 m e approssimandola al metro superiore risulta pari a 1,00 m.**

#### TRATTO 8-10

I valori del campo magnetico sono stati simulati al suolo, a 0,5 m dal suolo, a 1,0 m dal suolo e a 1,5 m dal suolo. Più precisamente, i risultati di seguito riportati illustrano l'andamento del campo magnetico in funzione della distanza dall'asse dei conduttori e l'andamento del campo magnetico su di un asse ortogonale all'asse dei conduttori.



Andamento del campo magnetico generato dal cavidotto, composto da tre terne una da 630 mm<sup>2</sup>, una da 400 mm<sup>2</sup> e una da 120 mm<sup>2</sup>

Distanza dall'asse centrale [m]	B <sub>tot</sub> a 0 m dal suolo [mT]	B <sub>tot</sub> a 0,5 m dal suolo [mT]	B <sub>tot</sub> a 1 m dal suolo [mT]	B <sub>tot</sub> a 1,5 m dal suolo [mT]
-10,00	0,08	0,08	0,08	0,08
-9,50	0,09	0,09	0,09	0,08
-9,00	0,10	0,10	0,10	0,09
-8,50	0,11	0,11	0,11	0,10
-8,00	0,13	0,12	0,12	0,12

-7,50	0,14	0,14	0,14	0,13
-7,00	0,16	0,16	0,15	0,15
-6,50	0,19	0,18	0,18	0,17
-6,00	0,22	0,21	0,20	0,19
-5,50	0,26	0,25	0,24	0,22
-5,00	0,31	0,30	0,28	0,26
-4,50	0,38	0,36	0,33	0,30
-4,00	0,48	0,44	0,40	0,36
-3,50	0,61	0,55	0,49	0,43
-3,00	0,80	0,71	0,61	0,52
-2,50	1,10	0,93	0,77	0,63
-2,00	1,58	1,25	0,97	0,76
-1,50	2,38	1,70	1,23	0,91
-1,00	3,71	2,29	1,51	1,05
-0,50	5,50	2,88	1,74	1,16
0,00	6,56	3,16	1,85	1,21
0,50	5,65	2,92	1,76	1,17
1,00	3,86	2,34	1,53	1,06
1,29	3,00	1,99	1,37	0,98
2,00	1,64	1,28	0,99	0,77
2,50	1,14	0,96	0,78	0,64
3,00	0,83	0,73	0,62	0,53
3,50	0,62	0,57	0,50	0,44
4,00	0,49	0,45	0,41	0,37
4,50	0,39	0,37	0,34	0,31
5,00	0,32	0,30	0,28	0,26
5,50	0,26	0,25	0,24	0,22
6,00	0,22	0,22	0,21	0,19
6,50	0,19	0,19	0,18	0,17
7,00	0,17	0,16	0,16	0,15
7,50	0,14	0,14	0,14	0,13
8,00	0,13	0,12	0,12	0,12
8,50	0,11	0,11	0,11	0,10
9,00	0,10	0,10	0,10	0,09
9,50	0,09	0,09	0,09	0,09
10,00	0,08	0,08	0,08	0,08
10,50	0,07	0,07	0,07	0,07
11,00	0,07	0,07	0,07	0,06

*Andamento del campo magnetico generato dal cavidotto, composto da tre terne una da 630 mm<sup>2</sup>, una da 400 mm<sup>2</sup> e una da 120mm<sup>2</sup>*

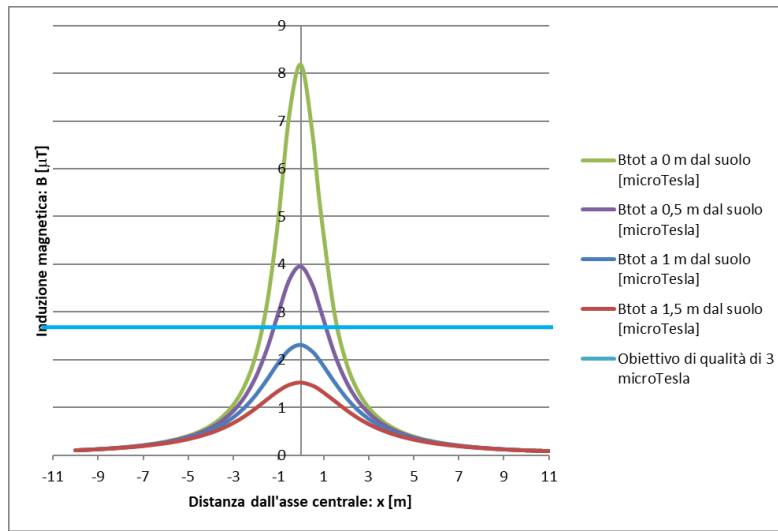
**Determinazione della DPA e della fascia di rispetto:**

La DPA calcolata è rappresentata dalla distanza tra l'asse del cavidotto e un punto individuato al suolo il cui valore del campo magnetico risulta essere uguale o inferiore ai 3  $\mu$ T.

Come si evince dal grafico e dalla tabella di cui sopra, **la DPA risulta pari a 1,29 m e approssimandola al metro superiore risulta pari a 2,00 m.**

### TRATTO 32-36

I valori del campo magnetico sono stati simulati al suolo, a 0,5 m dal suolo, a 1,0 m dal suolo e a 1,5 m dal suolo. Più precisamente, i risultati di seguito riportati illustrano l'andamento del campo magnetico in funzione della distanza dall'asse dei conduttori e l'andamento del campo magnetico su di un asse ortogonale all'asse dei conduttori



Andamento del campo magnetico generato composto da tre terne due da 630 mm<sup>2</sup> e una da 400 mm<sup>2</sup>

Distanza dall'asse centrale [m]	B <sub>tot</sub> a 0 m dal suolo [mT]	B <sub>tot</sub> a 0,5 m dal suolo [mT]	B <sub>tot</sub> a 1 m dal suolo [mT]	B <sub>tot</sub> a 1,5 m dal suolo [mT]
-10.00	0.10	0.10	0.10	0.10
-9.50	0.11	0.11	0.11	0.11
-9.00	0.13	0.13	0.12	0.12
-8.50	0.14	0.14	0.14	0.13
-8.00	0.16	0.16	0.15	0.15
-7.50	0.18	0.18	0.17	0.17
-7.00	0.21	0.20	0.20	0.19
-6.50	0.24	0.23	0.22	0.21
-6.00	0.28	0.27	0.26	0.25
-5.50	0.34	0.32	0.30	0.28
-5.00	0.40	0.38	0.36	0.33
-4.50	0.49	0.46	0.43	0.39
-4.00	0.62	0.57	0.52	0.46
-3.50	0.79	0.72	0.64	0.56
-3.00	1.05	0.92	0.79	0.67
-2.50	1.45	1.22	1.00	0.81
-2.00	2.10	1.64	1.26	0.98
-1.50	3.18	2.23	1.59	1.16
-1.00	4.95	2.98	1.94	1.34

Distanza dall'asse centrale [m]	B <sub>tot</sub> a 0 m dal suolo [mT]	B <sub>tot</sub> a 0,5 m dal suolo [mT]	B <sub>tot</sub> a 1 m dal suolo [mT]	B <sub>tot</sub> a 1,5 m dal suolo [mT]
-0.50	7.18	3.69	2.22	1.47
0.00	8.18	3.95	2.32	1.52
0.50	6.79	3.58	2.18	1.46
0.85	5.23	3.08	1.98	1.36
1.48	3.00	2.14	1.54	1.14
2.00	1.96	1.55	1.21	0.95
2.50	1.37	1.16	0.96	0.78
3.00	1.00	0.88	0.76	0.65
3.50	0.76	0.69	0.61	0.54
4.00	0.59	0.55	0.50	0.45
4.50	0.48	0.45	0.41	0.38
5.00	0.39	0.37	0.35	0.32
5.50	0.33	0.31	0.30	0.28
6.00	0.28	0.27	0.25	0.24
6.50	0.24	0.23	0.22	0.21
7.00	0.20	0.20	0.19	0.18
7.50	0.18	0.17	0.17	0.16
8.00	0.16	0.15	0.15	0.14
8.50	0.14	0.14	0.13	0.13
9.00	0.12	0.12	0.12	0.12
9.50	0.11	0.11	0.11	0.11
10.00	0.10	0.10	0.10	0.10
10.50	0.09	0.09	0.09	0.09
11.00	0.08	0.08	0.08	0.08

Andamento del campo magnetico generato composto da tre terne due da 630 mm<sup>2</sup> e una da 400 mm<sup>2</sup>

#### **Determinazione della DPA e della fascia di rispetto:**

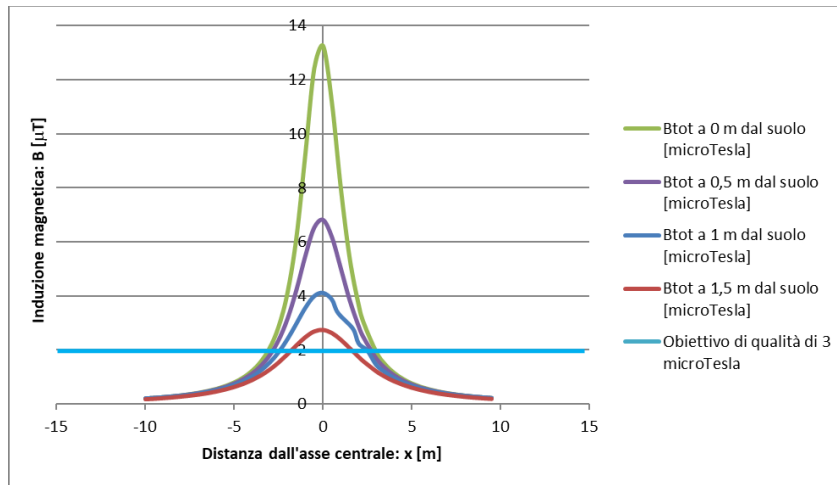
La DPA calcolata è rappresentata dalla distanza tra l'asse del cavidotto e un punto individuato al suolo il cui valore del campo magnetico risulta essere uguale o inferiore ai 3 µT.

Come si evince dal grafico e dalla tabella di cui sopra, **la DPA risulta pari a 1,48 m e approssimandola al metro superiore risulta pari a 2,00 m.**

#### **TRATTI 21-23; 26-28**

I valori del campo magnetico sono stati simulati al suolo, a 0,5 m dal suolo, a 1,0 m dal suolo e a 1,5 m dal suolo. Più precisamente, i risultati di seguito riportati illustrano l'andamento del campo magnetico in funzione della distanza dall'asse dei conduttori e l'andamento del campo magnetico su di un asse ortogonale all'asse dei conduttori





Andamento del campo magnetico generato composto da quattro terne tre da 630 mm<sup>2</sup> e una da 120 mm<sup>2</sup>

Distanza dall'asse centrale [m]	B <sub>tot</sub> a 0 m dal suolo [mT]	B <sub>tot</sub> a 0,5 m dal suolo [mT]	B <sub>tot</sub> a 1 m dal suolo [mT]	B <sub>tot</sub> a 1,5 m dal suolo [mT]
-10.00	0.20	0.20	0.20	0.19
-9.50	0.23	0.22	0.22	0.21
-9.00	0.25	0.25	0.24	0.23
-8.50	0.28	0.28	0.27	0.26
-8.00	0.32	0.31	0.30	0.29
-7.50	0.36	0.35	0.34	0.33
-7.00	0.41	0.40	0.39	0.37
-6.50	0.48	0.46	0.44	0.42
-6.00	0.56	0.54	0.51	0.48
-5.50	0.66	0.63	0.60	0.56
-5.00	0.80	0.75	0.70	0.65
-4.50	0.98	0.91	0.84	0.76
-4.00	1.22	1.12	1.01	0.90
-3.50	1.57	1.41	1.24	1.08
-3.00	2.08	1.81	1.54	1.29
-2.50	2.87	2.37	1.92	1.55
-2.00	4.12	3.16	2.41	1.86
-1.50	6.16	4.22	2.98	2.19
-1.00	9.23	5.48	3.57	2.49
-0.50	12.41	6.53	4.01	2.70
0.00	13.26	6.82	4.12	2.76
0.50	11.16	6.18	3.88	2.64
1.00	8.00	5.03	3.38	2.40
1.50	5.40	3.85	2.79	2.08
2.00	3.69	2.89	2.25	1.76
2.29	3.00	2.45	1.97	1.59
3.00	1.92	1.68	1.44	1.23
3.50	1.47	1.32	1.17	1.02
4.00	1.15	1.06	0.96	0.86
4.50	0.92	0.87	0.80	0.73

5.00	0.76	0.72	0.67	0.62
5.50	0.63	0.61	0.57	0.53
6.00	0.54	0.52	0.49	0.46
6.50	0.46	0.44	0.43	0.41
7.00	0.40	0.39	0.37	0.36
7.50	0.35	0.34	0.33	0.32
8.00	0.31	0.30	0.29	0.28
8.50	0.27	0.27	0.26	0.25
9.00	0.24	0.24	0.23	0.23
9.50	0.22	0.22	0.21	0.21

Andamento del campo magnetico generato composto da quattro terne tre da 630 mm<sup>2</sup> e una da 120 mm<sup>2</sup>

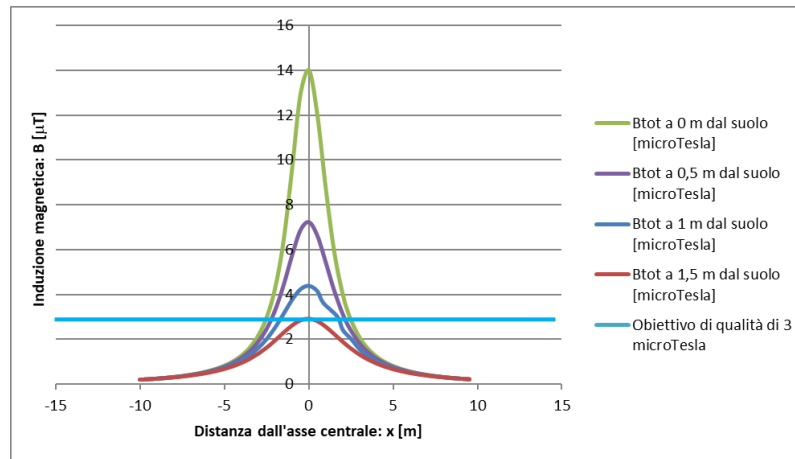
**Determinazione della DPA e della fascia di rispetto:**

La DPA calcolata è rappresentata dalla distanza tra l'asse del cavidotto e un punto individuato al suolo il cui valore del campo magnetico risulta essere uguale o inferiore ai 3 µT.

Come si evince dal grafico e dalla tabella di cui sopra, **la DPA risulta pari a 2.29 m e approssimandola al metro superiore risulta pari a 3,00 m.**

**TRATTI 19-19a; 19a-19b; 19b-21**

I valori del campo magnetico sono stati simulati al suolo, a 0,5 m dal suolo, a 1,0 m dal suolo e a 1,5 m dal suolo. Più precisamente, i risultati di seguito riportati illustrano l'andamento del campo magnetico in funzione della distanza dall'asse dei conduttori e l'andamento del campo magnetico su di un asse ortogonale all'asse dei conduttori



Andamento del campo magnetico generato composto da quattro terne tre da 630 mm<sup>2</sup> e una da 400 mm<sup>2</sup>

Distanza dall'asse centrale [m]	B <sub>tot</sub> a 0 m dal suolo [mT]	B <sub>tot</sub> a 0,5 m dal suolo [mT]	B <sub>tot</sub> a 1 m dal suolo [mT]	B <sub>tot</sub> a 1,5 m dal suolo [mT]
-10.00	0.22	0.21	0.21	0.20
-9.50	0.24	0.23	0.23	0.22
-9.00	0.27	0.26	0.25	0.25
-8.50	0.30	0.29	0.28	0.27
-8.00	0.33	0.33	0.32	0.31
-7.50	0.38	0.37	0.36	0.34
-7.00	0.44	0.42	0.41	0.39
-6.50	0.50	0.49	0.47	0.44

Distanza dall'asse centrale [m]	B <sub>tot</sub> a 0 m dal suolo [mT]	B <sub>tot</sub> a 0,5 m dal suolo [mT]	B <sub>tot</sub> a 1 m dal suolo [mT]	B <sub>tot</sub> a 1,5 m dal suolo [mT]
-6.00	0.59	0.57	0.54	0.51
-5.50	0.70	0.67	0.63	0.59
-5.00	0.84	0.79	0.74	0.68
-4.50	1.03	0.96	0.88	0.80
-4.00	1.28	1.18	1.07	0.95
-3.50	1.65	1.48	1.30	1.13
-3.00	2.18	1.89	1.61	1.36
-2.50	2.99	2.48	2.02	1.64
-2.00	4.29	3.30	2.53	1.96
-1.50	6.40	4.41	3.13	2.30
-1.00	9.58	5.73	3.75	2.63
-0.50	12.94	6.86	4.23	2.86
0.00	14.01	7.22	4.38	2.93
0.50	12.01	6.62	4.14	2.82
1.00	8.73	5.43	3.63	2.57
1.50	5.91	4.17	3.01	2.24
2.00	4.03	3.14	2.43	1.90
2.42	3.00	2.48	2.01	1.63
3.00	2.09	1.82	1.56	1.32
3.50	1.59	1.43	1.26	1.10
4.00	1.25	1.15	1.04	0.93
4.50	1.00	0.94	0.86	0.78
5.00	0.82	0.78	0.72	0.67
5.50	0.68	0.65	0.62	0.58
6.00	0.58	0.56	0.53	0.50
6.50	0.49	0.48	0.46	0.44
7.00	0.43	0.42	0.40	0.38
7.50	0.37	0.37	0.35	0.34
8.00	0.33	0.32	0.31	0.30
8.50	0.29	0.29	0.28	0.27
9.00	0.26	0.26	0.25	0.24
9.50	0.24	0.23	0.23	0.22

Andamento del campo magnetico generato composto da quattro terne tre da 630 mm<sup>2</sup> e una da 400 mm<sup>2</sup>

#### **Determinazione della DPA e della fascia di rispetto:**

La DPA calcolata è rappresentata dalla distanza tra l'asse del cavidotto e un punto individuato al suolo il cui valore del campo magnetico risulta essere uguale o inferiore ai 3 µT.

Come si evince dal grafico e dalla tabella di cui sopra, **la DPA risulta pari a 2,42 m e approssimandola al metro superiore risulta pari a 3,00 m.**

#### **TRATTO 5-6; 28-28a; 28a-28b; 28b-32**

I valori del campo magnetico sono stati simulati al suolo, a 0,5 m dal suolo, a 1,0 m dal suolo e a 1,5 m dal suolo. Più precisamente, i risultati di seguito riportati illustrano l'andamento del campo magnetico in funzione della distanza dall'asse dei conduttori e l'andamento del campo magnetico su di un asse ortogonale all'asse dei conduttori.

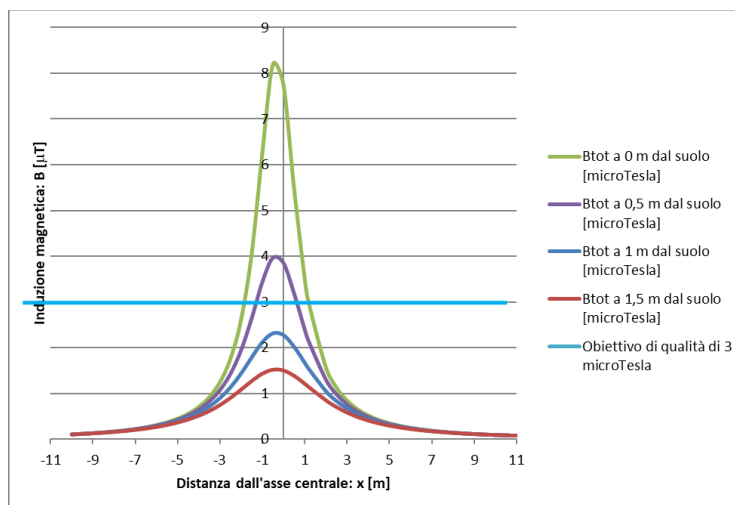


Figura 3: Andamento del campo magnetico generato dal cavidotto, composto da due terne da 630 mm<sup>2</sup>

Distanza dall'asse centrale [m]	B <sub>tot</sub> a 0 m dal suolo [mT]	B <sub>tot</sub> a 0,5 m dal suolo [mT]	B <sub>tot</sub> a 1 m dal suolo [mT]	B <sub>tot</sub> a 1,5 m dal suolo [mT]
-10,00	0,11	0,11	0,11	0,10
-9,50	0,12	0,12	0,12	0,11
-9,00	0,14	0,13	0,13	0,13
-8,50	0,15	0,15	0,15	0,14
-8,00	0,17	0,17	0,16	0,16
-7,50	0,20	0,19	0,19	0,18
-7,00	0,23	0,22	0,21	0,20
-6,50	0,26	0,26	0,24	0,23
-6,00	0,31	0,30	0,28	0,27
-5,50	0,37	0,35	0,33	0,31
-5,00	0,45	0,43	0,40	0,36
-4,50	0,56	0,52	0,48	0,43
-4,00	0,71	0,65	0,58	0,51
-3,50	0,93	0,83	0,72	0,62
-3,00	1,25	1,08	0,90	0,75
-2,50	1,77	1,43	1,14	0,90
-2,00	2,62	1,95	1,44	1,09
-1,50	4,07	2,64	1,79	1,27
-1,00	6,25	3,43	2,13	1,43
-0,50	8,20	3,96	2,32	1,52
0,00	7,75	3,85	2,28	1,50
0,50	5,49	3,19	2,03	1,39
1,00	3,52	2,40	1,68	1,21
1,18	3,00	2,15	1,55	1,15
2,00	1,58	1,30	1,06	0,85
2,50	1,13	0,99	0,84	0,70

Distanza dall'asse centrale [m]	B <sub>tot</sub> a 0 m dal suolo [mT]	B <sub>tot</sub> a 0,5 m dal suolo [mT]	B <sub>tot</sub> a 1 m dal suolo [mT]	B <sub>tot</sub> a 1,5 m dal suolo [mT]
3,00	0,85	0,76	0,67	0,58
3,50	0,66	0,60	0,54	0,48
4,00	0,52	0,49	0,45	0,41
4,50	0,42	0,40	0,37	0,35
5,00	0,35	0,34	0,32	0,30
5,50	0,30	0,28	0,27	0,25
6,00	0,25	0,24	0,23	0,22
6,50	0,22	0,21	0,20	0,19
7,00	0,19	0,18	0,18	0,17
7,50	0,17	0,16	0,16	0,15
8,00	0,15	0,14	0,14	0,14
8,50	0,13	0,13	0,13	0,12
9,00	0,12	0,12	0,11	0,11
9,50	0,11	0,10	0,10	0,10
10,00	0,10	0,09	0,09	0,09
10,50	0,09	0,09	0,09	0,08
11,00	0,08	0,08	0,08	0,08

Andamento del campo magnetico generato composto da due terne da 630 mm<sup>2</sup>

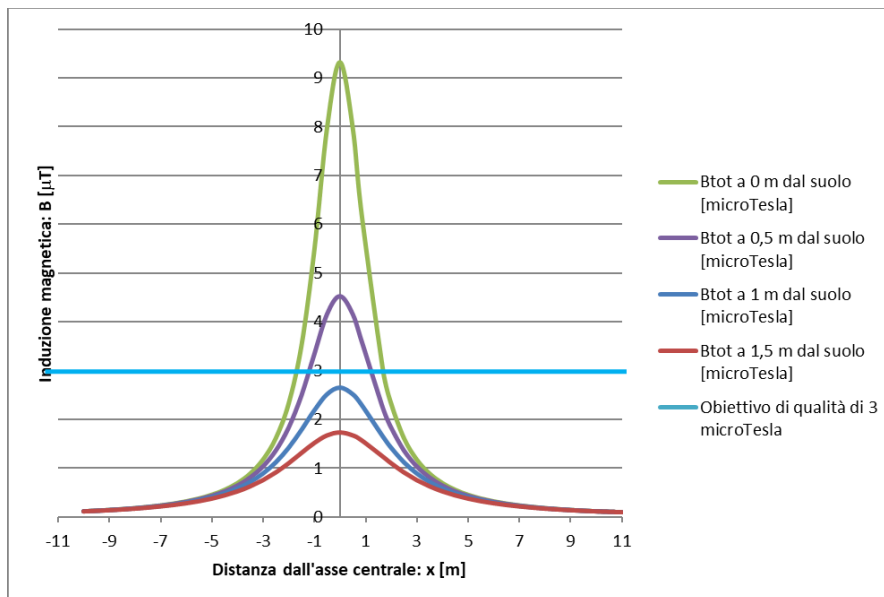
#### **Determinazione della DPA e della fascia di rispetto:**

La DPA calcolata è rappresentata dalla distanza tra l'asse del cavidotto e un punto individuato al suolo il cui valore del campo magnetico risulta essere uguale o inferiore ai 3  $\mu$ T.

Come si evince dal grafico e dalla tabella di cui sopra, **la DPA risulta pari a 1,18 m e approssimandola al metro superiore risulta pari a 2,00 m.**

#### **TRATTO 5-5a; 5a-5b; 5b-5c; 5c-5d; 5d-17; 23-23a; 23a-25; 25-25a; 25a-25b; 25-b-26**

I valori del campo magnetico sono stati simulati al suolo, a 0,5 m dal suolo, a 1,0 m dal suolo e a 1,5 m dal suolo. Più precisamente, i risultati di seguito riportati illustrano l'andamento del campo magnetico in funzione della distanza dall'asse dei conduttori e l'andamento del campo magnetico su di un asse ortogonale all'asse dei conduttori.


 Figura 3: Andamento del campo magnetico generato dal cavidotto, composto da tre terne da 630 mm<sup>2</sup>

Distanza dall'asse centrale [m]	B <sub>tot</sub> a 0 m dal suolo [mT]	B <sub>tot</sub> a 0,5 m dal suolo [mT]	B <sub>tot</sub> a 1 m dal suolo [mT]	B <sub>tot</sub> a 1,5 m dal suolo [mT]
-10,00	0,12	0,12	0,11	0,11
-9,50	0,13	0,13	0,13	0,12
-9,00	0,14	0,14	0,14	0,14
-8,50	0,16	0,16	0,15	0,15
-8,00	0,18	0,18	0,17	0,17
-7,50	0,21	0,20	0,20	0,19
-7,00	0,24	0,23	0,22	0,21
-6,50	0,27	0,27	0,25	0,24
-6,00	0,32	0,31	0,29	0,28
-5,50	0,38	0,36	0,34	0,32
-5,00	0,45	0,43	0,40	0,37
-4,50	0,56	0,52	0,48	0,44
-4,00	0,69	0,64	0,58	0,52
-3,50	0,89	0,81	0,72	0,63
-3,00	1,18	1,03	0,89	0,75
-2,50	1,62	1,36	1,12	0,91
-2,00	2,33	1,83	1,42	1,10
-1,50	3,51	2,49	1,78	1,31
-1,00	5,47	3,33	2,18	1,52
-0,50	7,99	4,15	2,51	1,68
0,00	9,33	4,52	2,65	1,74
0,50	7,99	4,15	2,51	1,68
0,85	6,22	3,60	2,30	1,57
1,69	3,00	2,22	1,64	1,23

Distanza dall'asse centrale [m]	B <sub>tot</sub> a 0 m dal suolo [mT]	B <sub>tot</sub> a 0,5 m dal suolo [mT]	B <sub>tot</sub> a 1 m dal suolo [mT]	B <sub>tot</sub> a 1,5 m dal suolo [mT]
2,00	2,33	1,83	1,42	1,10
2,50	1,62	1,36	1,12	0,91
3,00	1,18	1,03	0,89	0,75
3,50	0,89	0,81	0,72	0,63
4,00	0,69	0,64	0,58	0,52
4,50	0,56	0,52	0,48	0,44
5,00	0,45	0,43	0,40	0,37
5,50	0,38	0,36	0,34	0,32
6,00	0,32	0,31	0,29	0,28
6,50	0,27	0,27	0,25	0,24
7,00	0,24	0,23	0,22	0,21
7,50	0,21	0,20	0,20	0,19
8,00	0,18	0,18	0,17	0,17
8,50	0,16	0,16	0,15	0,15
9,00	0,14	0,14	0,14	0,14
9,50	0,13	0,13	0,13	0,12
10,00	0,12	0,12	0,11	0,11
10,50	0,11	0,11	0,10	0,10

*Andamento del campo magnetico generato composto da tre terne da 630 mm<sup>2</sup>*

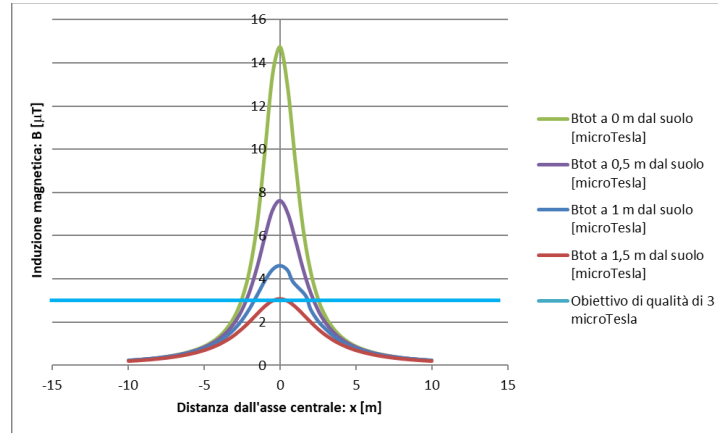
#### ***Determinazione della DPA e della fascia di rispetto:***

La DPA calcolata è rappresentata dalla distanza tra l'asse del cavidotto e un punto individuato al suolo il cui valore del campo magnetico risulta essere uguale o inferiore ai 3  $\mu$ T.

Come si evince dal grafico e dalla tabella di cui sopra, **la DPA risulta pari a 1,69 m e approssimandola al metro superiore risulta pari a 2,00 m.**

#### ***TRATTO 17-19***

I valori del campo magnetico sono stati simulati al suolo, a 0,5 m dal suolo, a 1,0 m dal suolo e a 1,5 m dal suolo. Più precisamente, i risultati di seguito riportati illustrano l'andamento del campo magnetico in funzione della distanza dall'asse dei conduttori e l'andamento del campo magnetico su di un asse ortogonale all'asse dei conduttori.



Andamento del campo magnetico generato composto da quattro terne da 630 mm<sup>2</sup>

Distanza dall'asse centrale [m]	B <sub>tot</sub> a 0 m dal suolo [mT]	B <sub>tot</sub> a 0,5 m dal suolo [mT]	B <sub>tot</sub> a 1 m dal suolo [mT]	B <sub>tot</sub> a 1,5 m dal suolo [mT]
-10.00	0.23	0.22	0.22	0.21
-9.50	0.25	0.25	0.24	0.24
-9.00	0.28	0.27	0.27	0.26
-8.50	0.31	0.31	0.30	0.29
-8.00	0.35	0.34	0.33	0.32
-7.50	0.40	0.39	0.38	0.36
-7.00	0.46	0.44	0.43	0.41
-6.50	0.53	0.51	0.49	0.47
-6.00	0.62	0.59	0.57	0.53
-5.50	0.73	0.70	0.66	0.62
-5.00	0.88	0.83	0.78	0.72
-4.50	1.08	1.01	0.93	0.84
-4.00	1.34	1.24	1.12	1.00
-3.50	1.72	1.55	1.36	1.19
-3.00	2.27	1.98	1.69	1.43
-2.50	3.12	2.59	2.11	1.71
-2.00	4.46	3.44	2.64	2.05
-1.50	6.64	4.60	3.27	2.41
-1.00	9.92	5.98	3.93	2.76
-0.50	13.45	7.18	4.44	3.01
0.00	14.72	7.61	4.62	3.09
0.50	12.83	7.04	4.39	2.99
1.00	9.43	5.81	3.87	2.73
1.50	6.41	4.48	3.22	2.39
2.00	4.36	3.38	2.60	2.03
2.54	3.00	2.50	2.05	1.68
3.00	2.25	1.96	1.67	1.41
3.50	1.71	1.54	1.35	1.18
4.00	1.34	1.23	1.11	0.99
4.50	1.07	1.00	0.92	0.84
5.00	0.88	0.83	0.77	0.71
5.50	0.73	0.70	0.66	0.61
6.00	0.62	0.59	0.56	0.53
6.50	0.53	0.51	0.49	0.46
7.00	0.46	0.44	0.43	0.41
7.50	0.40	0.39	0.38	0.36
8.00	0.35	0.34	0.33	0.32
8.50	0.31	0.31	0.30	0.29
9.00	0.28	0.27	0.27	0.26



Distanza dall'asse centrale [m]	B <sub>tot</sub> a 0 m dal suolo [mT]	B <sub>tot</sub> a 0,5 m dal suolo [mT]	B <sub>tot</sub> a 1 m dal suolo [mT]	B <sub>tot</sub> a 1,5 m dal suolo [mT]
9.50	0.25	0.25	0.24	0.24
10.00	0.23	0.22	0.22	0.21

Andamento del campo magnetico generato composto da quattro terne da 630 mm<sup>2</sup>

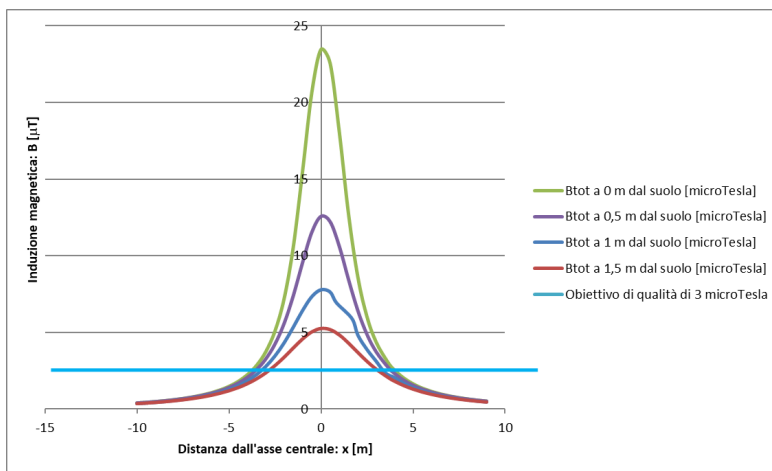
#### Determinazione della DPA e della fascia di rispetto:

La DPA calcolata è rappresentata dalla distanza tra l'asse del cavidotto e un punto individuato al suolo il cui valore del campo magnetico risulta essere uguale o inferiore ai 3 μT.

Come si evince dal grafico e dalla tabella di cui sopra, **la DPA risulta pari a 2,54 m e approssimandola al metro superiore risulta pari a 3,00 m.**

#### TRATTO 17-18

I valori del campo magnetico sono stati simulati al suolo, a 0,5 m dal suolo, a 1,0 m dal suolo e a 1,5 m dal suolo. Più precisamente, i risultati di seguito riportati illustrano l'andamento del campo magnetico in funzione della distanza dall'asse dei conduttori e l'andamento del campo magnetico su di un asse ortogonale all'asse dei conduttori.



Andamento del campo magnetico generato composto da sette terne da 630 mm<sup>2</sup>

Distanza dall'asse centrale [m]	B <sub>tot</sub> a 0 m dal suolo [mT]	B <sub>tot</sub> a 0,5 m dal suolo [mT]	B <sub>tot</sub> a 1 m dal suolo [mT]	B <sub>tot</sub> a 1,5 m dal suolo [mT]
-10.00	0.39	0.38	0.37	0.37
-9.50	0.43	0.42	0.41	0.40
-9.00	0.47	0.47	0.46	0.44
-8.50	0.53	0.52	0.51	0.49
-8.00	0.60	0.58	0.57	0.55
-7.50	0.68	0.66	0.64	0.61
-7.00	0.77	0.75	0.72	0.69
-6.50	0.89	0.86	0.83	0.79
-6.00	1.04	1.00	0.95	0.90
-5.50	1.23	1.17	1.11	1.04
-5.00	1.47	1.39	1.30	1.20
-4.50	1.79	1.68	1.55	1.41

Distanza dall'asse centrale [m]	B <sub>tot</sub> a 0 m dal suolo [mT]	B <sub>tot</sub> a 0,5 m dal suolo [mT]	B <sub>tot</sub> a 1 m dal suolo [mT]	B <sub>tot</sub> a 1,5 m dal suolo [mT]
-4.00	2.23	2.05	1.86	1.66
-3.50	2.84	2.56	2.26	1.98
-3.00	3.73	3.26	2.79	2.37
-2.50	5.08	4.23	3.47	2.84
-2.00	7.22	5.59	4.33	3.39
-1.50	10.61	7.41	5.35	3.99
-1.00	15.52	9.56	6.42	4.57
-0.50	20.64	11.53	7.31	5.03
0.00	23.47	12.58	7.77	5.25
0.50	22.55	12.23	7.62	5.18
1.00	18.04	10.60	6.91	4.83
1.50	12.68	8.44	5.89	4.30
2.00	8.63	6.43	4.83	3.70
2.50	6.01	4.86	3.89	3.12
3.00	4.35	3.72	3.12	2.60
3.66	3.00	2.69	2.36	2.05
4.00	2.53	2.30	2.06	1.82
4.50	2.01	1.87	1.71	1.54
5.00	1.63	1.54	1.43	1.31
5.50	1.35	1.29	1.21	1.12
6.00	1.14	1.09	1.03	0.97
6.50	0.97	0.94	0.89	0.85
7.00	0.84	0.81	0.78	0.74
7.50	0.73	0.71	0.69	0.66
8.00	0.64	0.63	0.61	0.58
8.50	0.57	0.56	0.54	0.52
9.00	0.51	0.50	0.48	0.47

Andamento del campo magnetico generato composto da sette terre da 630 mm<sup>2</sup>

#### Determinazione della DPA e della fascia di rispetto:

La DPA calcolata è rappresentata dalla distanza tra l'asse del cavidotto e un punto individuato al suolo il cui valore del campo magnetico risulta essere uguale o inferiore ai 3  $\mu$ T.

Come si evince dal grafico e dalla tabella di cui sopra, **la DPA risulta pari a 3,66 m e approssimandola al metro superiore risulta pari a 4,00 m.**

#### 4.1.2. STAZIONE ELETTRICA DI UTENZA

La nuova Stazione Elettrica di Utente è sita nel Comune di Bisaccia, nei pressi della Stazione RTN a 380/150kV di "Bisaccia". Al suo interno, è previsto uno stallo di trasformazione MT/AT; un edificio adibito a locali tecnici, in cui sono allocati gli scomparti MT, i quadri BT, il locale comando controllo ed il gruppo elettrogeno; un montante di connessione verso la RTN e una sbarra condivisa con altro produttore avente codice pratica 06020746. Con quest'ultimo, è prevista, inoltre, la condivisione del cavidotto AT e dell'impianto di rete per la connessione.

Per quanto concerne la determinazione della fascia di rispetto, la S.E. di utenza è del tutto assimilabile ad una Cabina Primaria, per la quale la fascia di rispetto rientra, come verificheremo nel paragrafo successivo per il caso in esame, nei confini dell'area di pertinenza dell'impianto (area recintata). Ciò in conformità a quanto riportato al paragrafo 5.2.2 dell'Allegato al Decreto 29 maggio 2008 che afferma che: *per questa tipologia di impianti la Dpa e, quindi, la fascia di rispetto rientrano generalmente nei confini dell'area di pertinenza dell'impianto stesso.*

L'impatto elettromagnetico nella S.E. di utenza è essenzialmente prodotto:

- all'utilizzo dei trasformatori elevatore;
- alla realizzazione delle linee/sbarre aeree di connessione tra il trafo e le apparecchiature elettromeccaniche.

L'impatto generato dalle sbarre a 150kV è di gran lunga quello più significativo e pertanto si propone il calcolo della fascia di rispetto dalle sbarre.

#### *Determinazione della fascia di rispetto*

Le sbarre a 150kV sono assimilabili ad una linea aerea trifase 150 kV, con conduttori posti in piano ad una distanza reciproca di 2,2 m, ad un'altezza di circa 4,5 m dal suolo, percorsi da correnti simmetriche ed equilibrate.

Nel caso in esame abbiamo:

- S (distanza tra i conduttori) = 2,2 m
- Pn = Potenza massima dell'impianto (118,80 MW)
- Vn = Tensione nominale delle sbarre (150 kV)

Pertanto, si avrà:

$$I = \frac{P_n}{(V_n \times 1,73 \times \cos\phi)} = 457,80 \text{ A}$$

ed utilizzando la formula di approssimazione proposta al paragrafo 6.2.1 della norma CEI 106-11, si avrà:

$$R' = 0,34 \times \sqrt{(2,2 \times 457,80)} = 10,79 \text{ m}$$

Valore che rientra all'interno delle aree di pertinenza della S.E. di utenza.

In conclusione:

- *la Distanza di Prima Approssimazione (Dpa), pur non rientrando nei confini dell'area di pertinenza della Stazione, rientra nell'area di titolarità del proponente;*
- *la Stazione elettrica di trasformazione è comunque realizzata in un'area agricola, con totale assenza di edifici abitati per un raggio di almeno 700 m;*
- *all'interno dell'area della Stazione elettrica di utenza non è prevista la permanenza di persone per periodi continuativi superiori a 4 ore con l'impianto in tensione.*

**Pertanto, si può quindi affermare che l'impatto elettromagnetico su persone prodotto dalla Stazione elettrica di utenza è trascurabile.**

#### **4.1.3. IMPIANTO DI UTENZA PER LA CONNESSIONE**

L'impianto di utenza per la connessione è previsto mediante una sbarra 150kV e cavidotto AT condiviso con altro produttore (Codice Pratica: 06020746).

- CAVIDOTTO AT

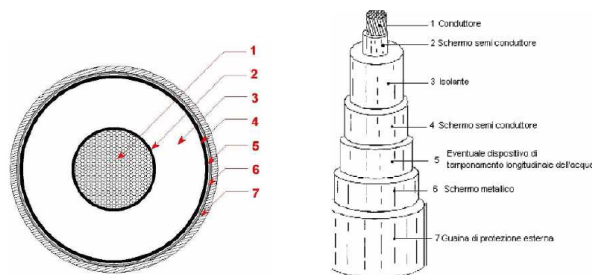
Il Cavidotto AT in cavo interrato, sarà costituito da una terna composta di tre cavi unipolari realizzati in conduttore di alluminio, isolante in XLPE ARE4H1H5E 87/150kV 1x1600, schermatura in alluminio e guaina esterna in polietilene. Le caratteristiche elettriche sono le seguenti:

- Frequenza nominale 50 hz
- Tensione nominale 150 kV
- Corrente nominale 1000 A
- Potenza nominale 260 MVA

- Isolante XLPE

Ciascun cavo d'energia a 150 kV è costituito da:

1. conduttore in alluminio compatto tamponato in corda rotonda compatta di fili di alluminio di sezione circolare
2. schermo semiconduttivo sul conduttore
3. isolamento in polietene reticolato (XLPE)
4. schermo semiconduttivo sull'isolamento
5. nastri in materiale igro-espandente
6. guaina in alluminio longitudinalmente saldata
7. rivestimento in polietene con grafitatura esterna.



Caratteristiche del Conduttore di Energia

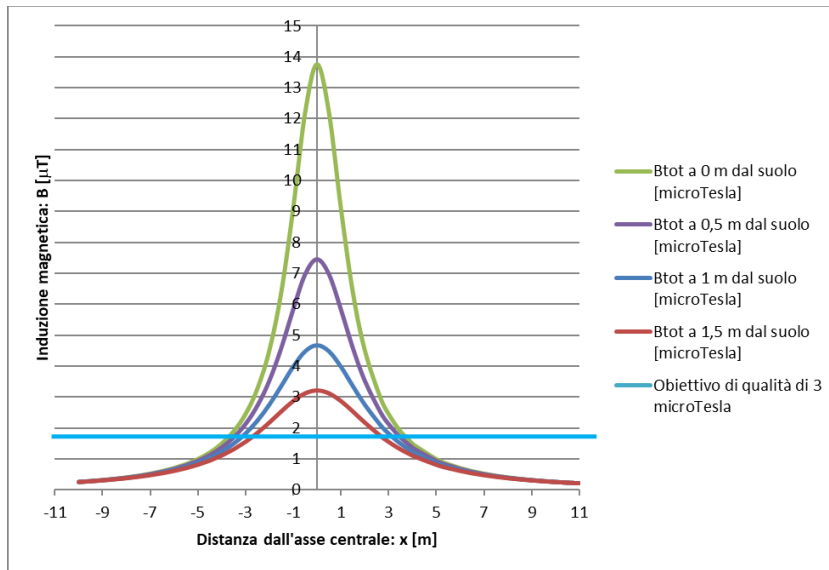
Dal punto di vista elettromagnetico le caratteristiche del campo B generato dal cavidotto AT (150kV) e il suo decadimento con la distanza sono analoghi a quanto già descritto per i cavidotti 30kV interni al parco; occorre tuttavia precisare che linee AT presentano una maggiore distanza tra i conduttori, ciò che determina un decadimento del campo magnetico con la distanza inferiore a quanto visto per i cavidotti a 30kV, a parità di corrente. Ciò è vero per terne interrato (distanza tipica tra conduttori di 9-20 cm), ma soprattutto per linee aeree, ove la distanza tra conduttori può anche essere dell'ordine dei m.

D'altra parte però il cavidotto AT, sarà percorso da una corrente notevolmente inferiore ad un corrispondente cavidotto a 30kV, con conseguente diminuzione del campo magnetico generato. Ciò è vero nell'ipotesi che il cavidotto AT sia percorso dalla sola corrente dell'impianto considerato.

Si riporta di seguito calcolo della DPA considerando, a vantaggio di sicurezza, il cavidotto percorso dalla corrente nominale (1000 A).

#### CAVIDOTTO PERCORSO DALLA CORRENTE NOMINALE (1.000 A)

I valori del campo magnetico sono stati simulati al suolo, a 0,5 m dal suolo, a 1,0 m dal suolo e a 1,5 m dal suolo. Più precisamente, i risultati di seguito riportati illustrano l'andamento del campo magnetico in funzione della distanza dall'asse dei conduttori e l'andamento del campo magnetico su di un asse ortogonale all'asse dei conduttori.



Andamento del campo magnetico generato dal cavidotto, composto da una terna da 1.600 mm<sup>2</sup>

Distanza dall'asse centrale [m]	B <sub>tot</sub> a 0 m dal suolo [mT]	B <sub>tot</sub> a 0,5 m dal suolo [mT]	B <sub>tot</sub> a 1 m dal suolo [mT]	B <sub>tot</sub> a 1,5 m dal suolo [mT]
-10,00	0,26	0,26	0,25	0,25
-9,50	0,29	0,29	0,28	0,27
-9,00	0,32	0,32	0,31	0,30
-8,50	0,36	0,36	0,35	0,33
-8,00	0,41	0,40	0,39	0,37
-7,50	0,46	0,45	0,43	0,42
-7,00	0,53	0,51	0,49	0,47
-6,50	0,61	0,59	0,56	0,53
-6,00	0,71	0,68	0,65	0,61
-5,50	0,84	0,80	0,75	0,70
-5,00	1,00	0,94	0,88	0,81
-4,50	1,21	1,13	1,04	0,94
-4,00	1,50	1,37	1,24	1,10
-3,50	1,90	1,70	1,50	1,30
-3,00	2,46	2,14	1,83	1,55
-2,50	3,28	2,73	2,24	1,84
-2,00	4,52	3,54	2,76	2,17
-1,50	6,40	4,60	3,36	2,53
-1,00	9,10	5,85	3,99	2,86
-0,50	12,19	6,98	4,48	3,11
0,00	13,75	7,47	4,68	3,20
0,50	12,19	6,98	4,48	3,11
1,00	9,10	5,85	3,99	2,86
1,50	6,40	4,60	3,36	2,53

2,00	4,52	3,54	2,76	2,17
2,65	3,00	2,53	2,11	1,75
3,00	2,46	2,14	1,83	1,55
3,50	1,90	1,70	1,50	1,30
4,00	1,50	1,37	1,24	1,10
4,07	1,46	1,34	1,21	1,08
5,00	1,00	0,94	0,88	0,81
5,50	0,84	0,80	0,75	0,70
6,00	0,71	0,68	0,65	0,61
6,50	0,61	0,59	0,56	0,53
7,00	0,53	0,51	0,49	0,47
7,50	0,46	0,45	0,43	0,42
8,00	0,41	0,40	0,39	0,37
8,50	0,36	0,36	0,35	0,33
9,00	0,32	0,32	0,31	0,30
9,50	0,29	0,29	0,28	0,27
10,00	0,26	0,26	0,25	0,25
10,50	0,24	0,24	0,23	0,23
11,00	0,22	0,22	0,21	0,21

*Andamento del campo magnetico generato composto da una terna da 1.600 mm<sup>2</sup>*

#### ***Determinazione della DPA e della fascia di rispetto:***

La DPA calcolata è rappresentata dalla distanza tra l'asse del cavidotto e un punto individuato al suolo il cui valore del campo magnetico risulta essere uguale o inferiore ai 3  $\mu$ T.

Come si evince dal grafico e dalla tabella di cui sopra, **la DPA risulta pari a 2,65 m e approssimandola al metro superiore risulta pari a 3,00 m.**

#### ▪ **SBARRA DI CONDIVISIONE AT**

Le sbarre a 150kV sono assimilabili ad una linea aerea trifase 150 kV, con conduttori posti in piano ad una distanza reciproca di 2,2 m, ad un'altezza di circa 6 m dal suolo, percorsi da correnti simmetriche ed equilibrate.

Nel caso in esame abbiamo:

- S (distanza tra i conduttori) = 2,2 m
- I = intensità di corrente (870 A)
- Vn = Tensione nominale delle sbarre (150 kV)

Utilizzando la formula di approssimazione proposta al paragrafo 6.2.1 della norma CEI 106-11, si avrà:

$$R = 0,34 \times \sqrt{(2,2 \times 870)} = 14,87 \text{ m}$$

In conclusione *la sbarra di condivisione AT è realizzata all'interno di una sottostazione in un'area agricola*, con totale assenza di edifici abitati per un raggio di almeno 700 m;

**Pertanto, si può quindi affermare che l'impatto elettromagnetico su persone prodotto dalla sbarra di condivisione AT è trascurabile.**

## 5. CONCLUSIONI

Dallo studio del campo elettromagnetico prodotto dalle opere dell'impianto di produzione di energia rinnovabile da fonte eolica da realizzarsi nei territori comunali di Andretta, Bisaccia e Vallata (AV) è emerso che:

- Tenuto conto che la fascia di rispetto, da tenere in considerazione per la valutazione della presenza di recettori sensibili è al massimo 8.00 m (DPA massima 4,00 m), si può affermare che l'impatto elettromagnetico su persone prodotto dai cavidotti 30 kV è trascurabile.
- l'impatto elettromagnetico su persone, prodotto dalla Stazione elettrica di utenza, è trascurabile;
- il campo di induzione magnetica prodotto dal cavidotto AT dall'impianto di utenza per la connessione, considerando a vantaggio di sicurezza i cavi percorsi dalla corrente nominale (1.000A), presenta una DPA pari a 3,00 m, permettendo di affermare che all'interno della DPA non ricadono recettori sensibili;
- l'impatto elettromagnetico su persone, prodotto dalla Sbarra di condivisione AT, è trascurabile

Pertanto, le opere elettriche relative all'impianto di produzione di energia rinnovabile da fonte eolica da realizzarsi nei territori comunali di Andretta, Bisaccia e Vallata (AV) sono conformi a tutti i parametri normativi di impatto elettromagnetico.

## 6. ALLEGATI

- 233502\_D\_D\_0451\_00 Planimetria di progetto su CTR con indicazione dei tracciati delle reti esterne e localizzazione delle centrali - Foglio 1;
- 233502\_D\_D\_0452\_00 Planimetria di progetto su CTR con indicazione dei tracciati delle reti esterne e localizzazione delle centrali - Foglio 2;
- 233502\_D\_D\_0502\_00 Dettagli costruttivi Cavidotto 30kV;
- 233502\_D\_D\_0503\_00 Dettagli costruttivi Cavidotto AT;

